

¿Es la nebulosa de Orión luz superradiada de la nebulosa de De Mairan? Conjetura holográfica M43-M42-Sh2-279 y Subconjetura del tercer jet.

Héctor Gengis Arellano Montiel, México, Marzo 2021 - Diciembre 2023.

Índice.

I. Introducción.

I. 1. Puntos fríos.

I. 2. Formaciones similares de polvo y gas.

I. 3. M42 como luz expandida, girada y volteada de M43, posible indicio de supersimetría.

I. 4. Espacio-tiempo entre Sh2-279 y M42 como medio inhomogéneo para propagación de onda.

I. 5. Sh2-279 posible zona de recolimación, comparación con jet de agujero negro supermasivo y sus desintegraciones.

I. 6. Conjetura microcuasar-microblazar.

I. 7. Hacia una estimación de masa.

I. 8. ¿Es la barra de Orión el contra jet de Sh2-279?

I. 9. Hipotética perspectiva de jet y contra jet.

I. 10. Diagrama de Penrose-Carter como incrustado en AdS5.

I. II. Anexos Matemáticos.

I. II. 1. Hipotética transformación conforme.

I. II. 2. Sh2-279 como radiación en tesseracto y la flecha del tiempo. Hacia una descripción geométrica.

I. II. 3. Conos de luz Minkowski 4D y $\text{AdS}_{n \geq 5}$ con λ negativo.

I. II. 4. Hipotéticos casos de Kerr-Newman subtipo $|Q| \wedge J < M$ y subtipo $|Q| \wedge J = M$.

I. Conjetura. Sh2-279 como jet holográfico por efecto Cherenkov inverso de disco de acreción entre M43 y M42.

II. 1. Todo jet de singularidad es una holografía de su evento.

II. 2. Sh2-279 como jet holográfico de suceso M43-M42.

II. 3. Modelo $\text{AdS}_{n \geq 5}$ con constante cosmológica negativa por debajo de la longitud de Planck, singularidad rotatoria entre M43, Sh2-279 y M42.

II. 4. Dualidad Maldacena. Conservación de la información por jet de singularidad superradiante o imagen 2D de acontecimiento 4D.

II. 5. Singularidad giratoria, posible superradiación y universo $\text{AdS}_{n \geq 5}$ con anisotropía.

II. 6. Hipotética velocidad superlumínica general por agujero de gusano, sin violación local a la velocidad de la luz, percibida como luz adelantada a su fuente.

II. 7. Modelo unificado de núcleos galácticos activos contra hipotético micro blazar-cuasar.

II. 8. Hipotético caso de Kerr-Newman con censura cósmica y arquitectura Hs-S-Hs o de horizontes de sucesos no fusionados por preponderancia de masa.

II. 9. Hipotética filogenia de singularidades deducida por jets.

II. 10. Hipotéticas subzonas de recolimación.

II. 11. Jets Blandford-Znajek de microcuasar como cascada por e^\pm aniquilándose.

II. 12. Una interpretación holográfica de jet estándar. Todo jet es una forma de holografía especular de su disco de acreción.

III. Posibles comprobaciones y Teoría M.

III. 1. ¿Estrella tipo O capturada por Kerr?

III. 2. Posible Proceso Penrose de luz de M43 subdividido en holograma dextrógiro M42 y su efecto Cherenkov o jet levógiro Sh2-279.

III. 3. Sh2-279 como Jet levógiro e indicios de gravedad arcoíris en análisis de longitudes de onda.

III. 4. Especulación físico-química por astronomía de infrarrojo lejano. Posible nucleosíntesis por espalación de rayos cósmicos revelada por Kerr.

III. 5. Ejemplo de evidencia empírica, Serafino (2021).

III. 6. Evidencia empírica, Claro (2021) vs Capell (2023).

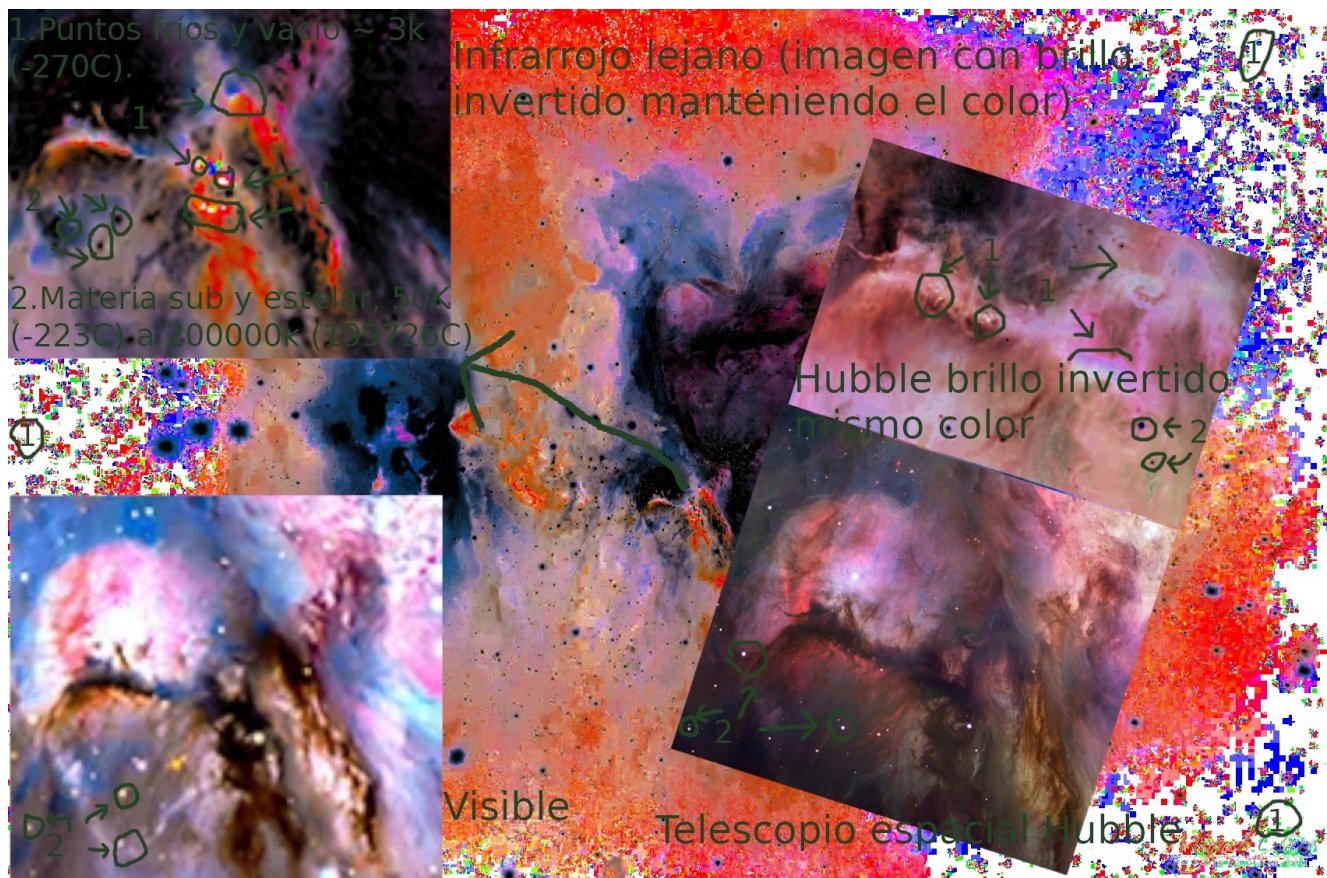
- III. 7. Evidencia empírica, autor desconocido (2023).
- III. 8. Evidencia empírica, comparación Martinerz (2023) y Tomaselli (2023).
- III. 9. Comparación de irregularidades térmicas en polvo entre M43 y M42, Claro (2021) y 11 invertidas autores varios 2021-2023.
- III. 10. Ejemplo de evidencia empírica, @chinomoro_astrofotografia (2023).
- III. 11. Comparación de evidencia, Douglas Abbud (2023), Chuck's Astrophotography (2023) y Claro (2021).
- III. 12. Comparación de evidencia, Susana Marto (2023), Space x lovers (2023), Hubble (2006) y Claro (2021).
- III. 13. Conjetura de Kerr-Newman subtipo $|Q| \wedge J < M$ masa estelar a intermedia y su posible decaimiento a subtipo $|Q| \wedge J = M$ y a Kerr por pérdida de carga.
- III. 14. Sh2-279 y Sh2-264 como el mismo microcuasar.
- III. 15. Hipotéticas trayectorias de fotones en proceso Penrose y su ruptura de simetría.
- III. 16. Hipotético espacio-tiempo entorno a Kerr como metamaterial doble negativo.
- III. 17. Hipotéticas condiciones de impacto.
- III. II. Hacia una teoría M.
- III. II. 1. Correspondencia AdS-CFT en Sh2-279.
- III. II. 2. Isotropía de la radiación de fondo de microondas e hipotético eje del mal como evidencia de flecha del tiempo supersimétrica y universo $AdS_{n \geq 5}$.
- III. II. 3. Función de onda monoelectrónica con hipotética flecha de tiempo supersimétrica.
- IV. Subconjetura del tercer jet.
- IV. 1. Temperaturas y longitudes de onda en subconjetura del tercer jet.
- IV. 2. Subconjetura de estelares a intermedio.
- IV. 3. M43, M42 y Sh2-279 , estrellas y galaxias censuradas.
- IV. 4. Tercer jet como microblazar Sh2-276, estrellas y galaxias censuradas.
- IV. 5. Especulación 5D. Estrellas locales y galaxias de fondo censuradas.
- IV. 6. Continuidad en el infrarojo entre M42 y Sh2-276.
- IV. 7. ¿Tiene el universo curvatura constante? Curvatura constante reduciéndose y expandiéndose en tercer jet. Comparación Sh2-279 con zona de recolimación de cuásar y luz no estelar de M42 como tercer jet.
- IV.8. ¿ $v \geq c$?
- IV.9. ¿Promueve el microblazar M42 - Sh2-276 la formación de estrellas T Tauri?
- IV.10. Gamma en NGC 2071, hipotético proceso Penrose, ganancia de masa y ruptura de simetría.
- IV.11. ¿Son NGC 2024 y Barnard 33 holografía de microblazar en polvo y estrellas locales? Hipotético vector M42-NGC 2071.

Introducción.

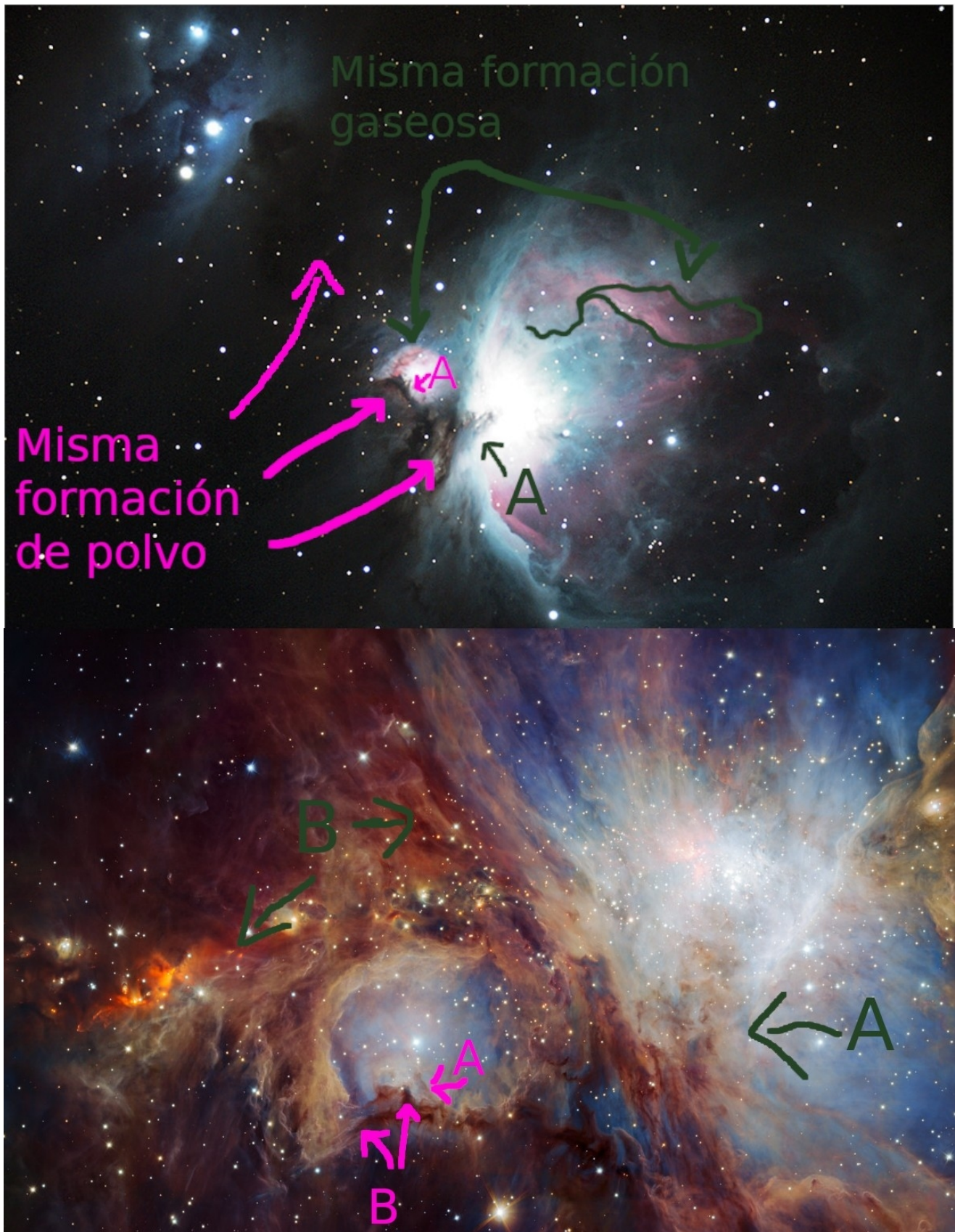
El presente ejercicio especulativo está formado por un conjunto de ideas heterogéneas en distintos grados especulativas, desde las más aceptadas por la comunidad científica a las menos, sólo para intentar dar una explicación coherente a una inquietante percepción personal.

Este cuento no es para quien con ignorancia y soberbia corrige y hasta reprime, sea en cambio para quien imagina y sueña. Para todo espíritu manso en la paz pero indoblegable en la adversidad.

I. 1. Puntos fríos.



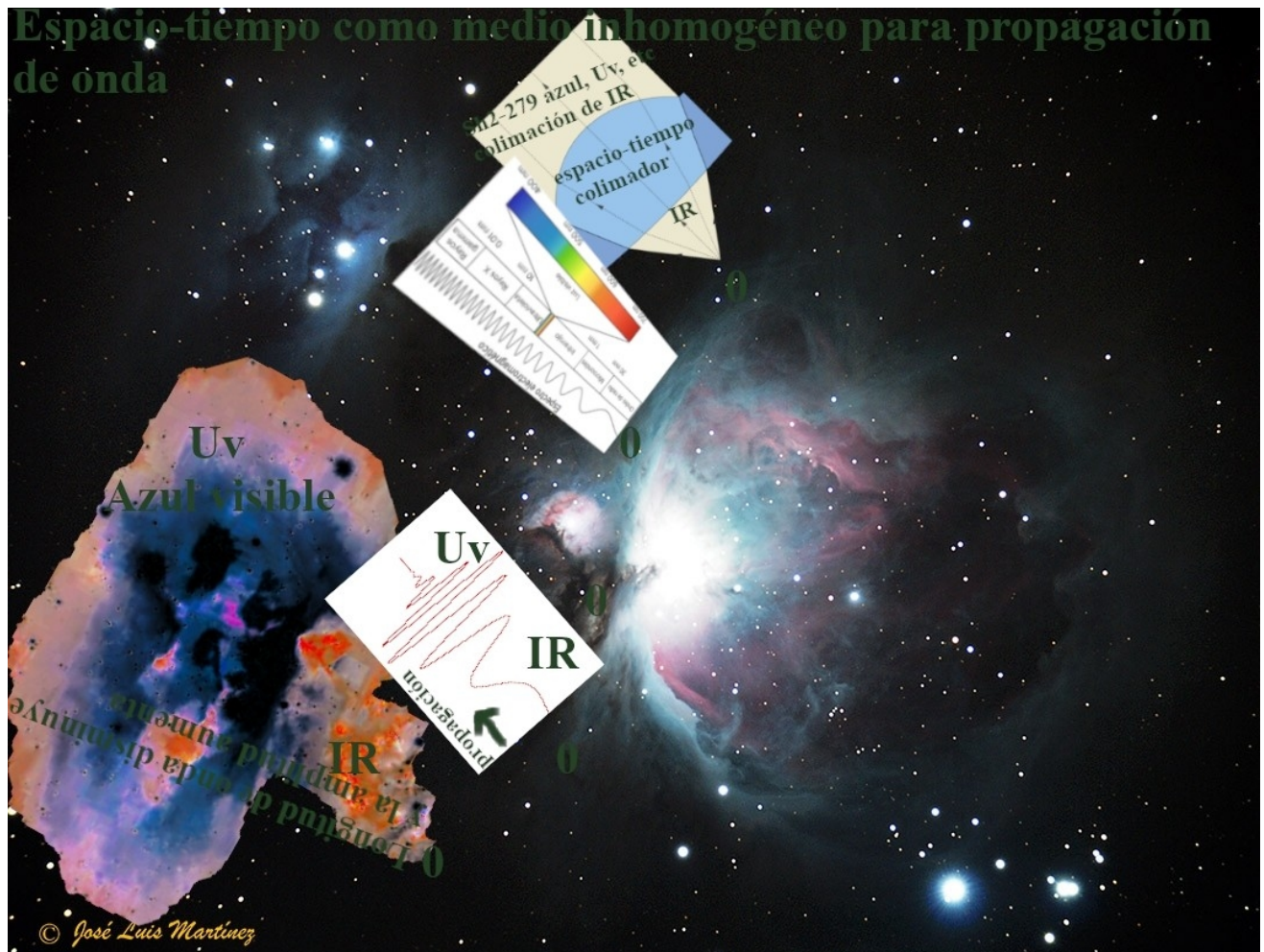
I. 2. Formaciones similares de polvo y gas.



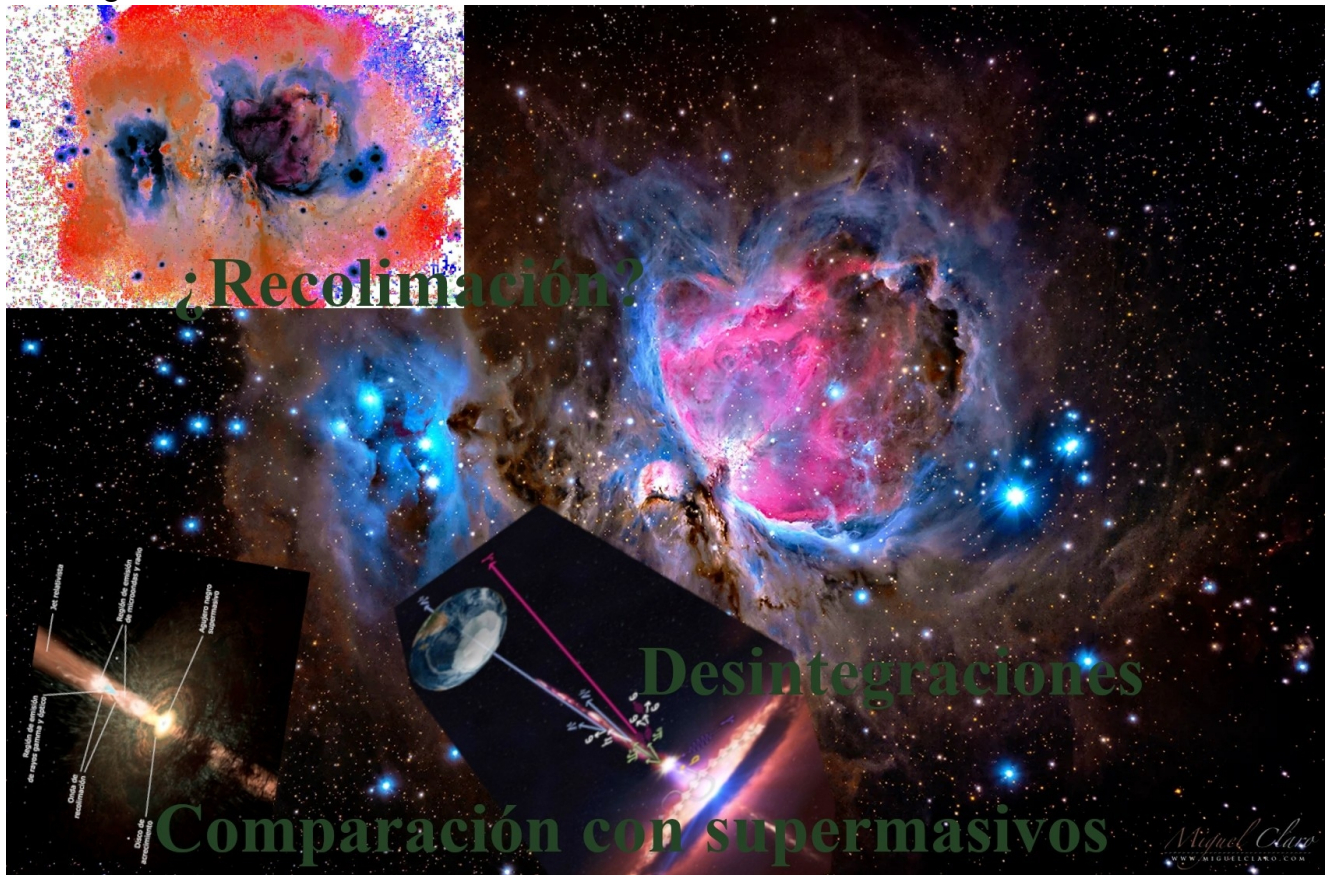
I. 3. M42 como luz expandida, girada y volteada de M43, posible indicio de supersimetría.



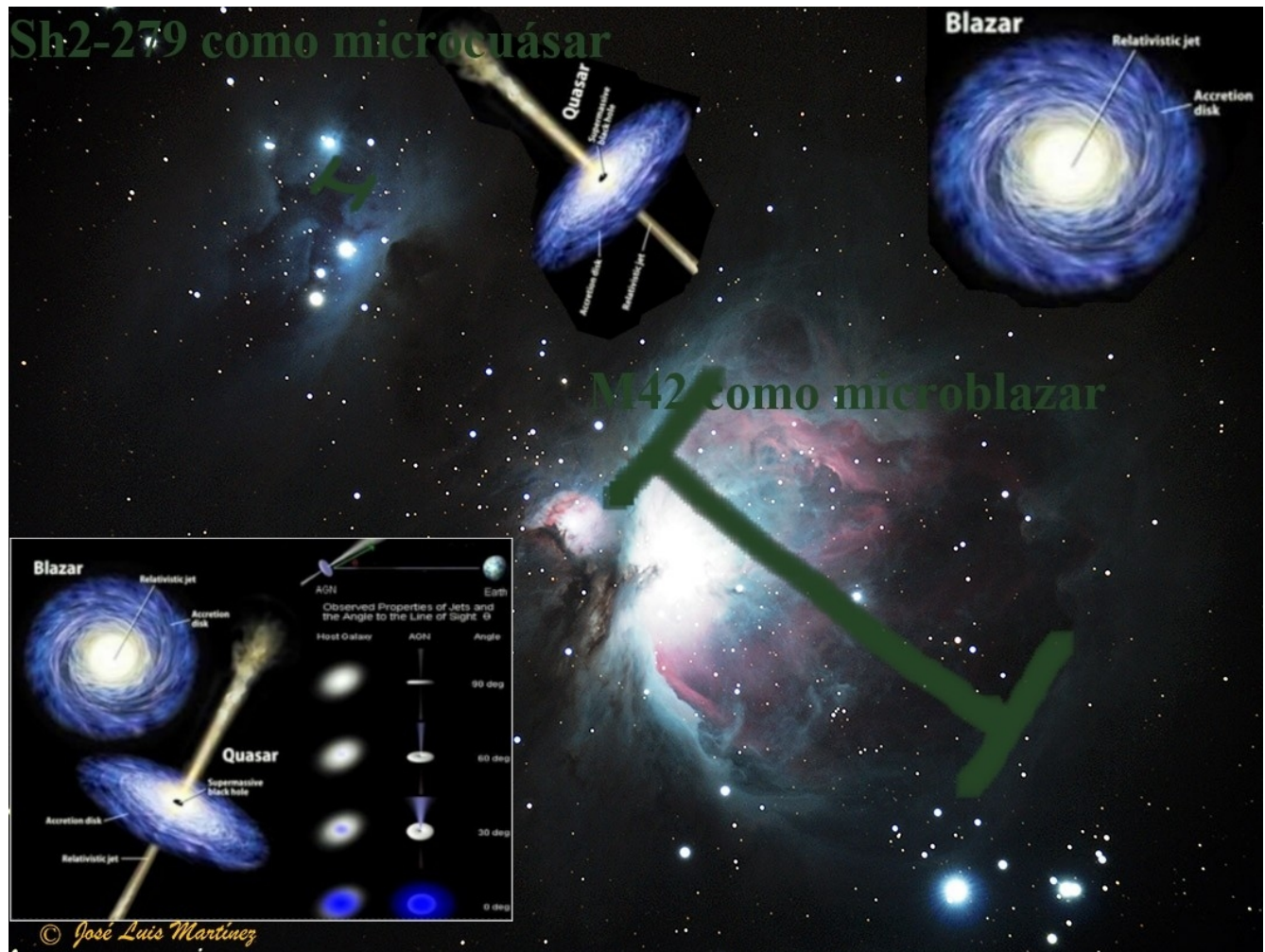
I. 4. Espacio-tiempo entre Sh2-279 y M42 como medio inhomogéneo para propagación de onda.



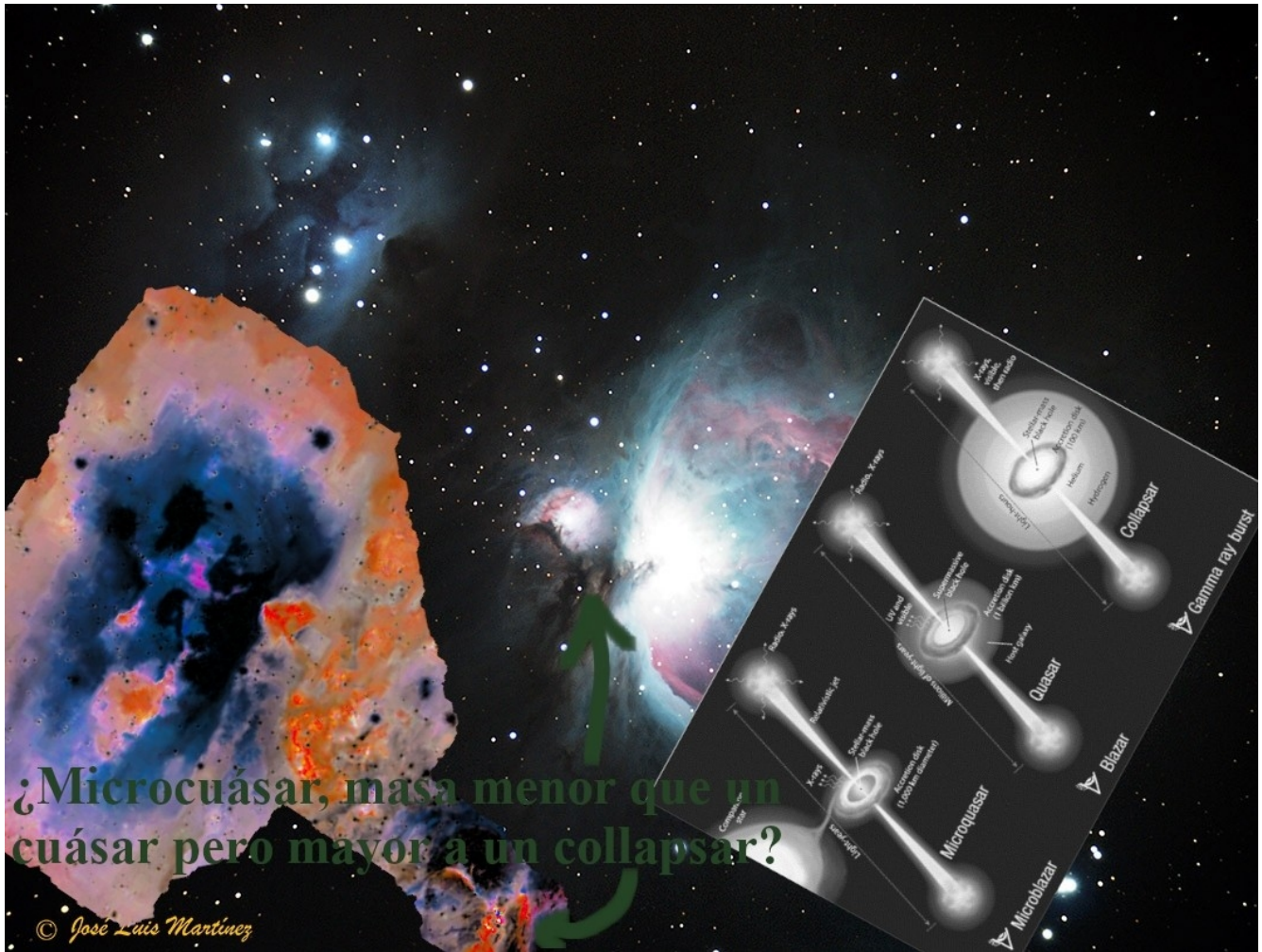
I. 5. Sh2-279 posible zona de recolimación, comparación con jet de agujero negro supermasivo y sus desintegraciones.



I. 6. Conjetura microcuasar-microblazar.



I. 7. Hacia una estimación de masa.



Parte de la luz y polvo de M43 como material de disco de acreción en lugar de estrella compañera.

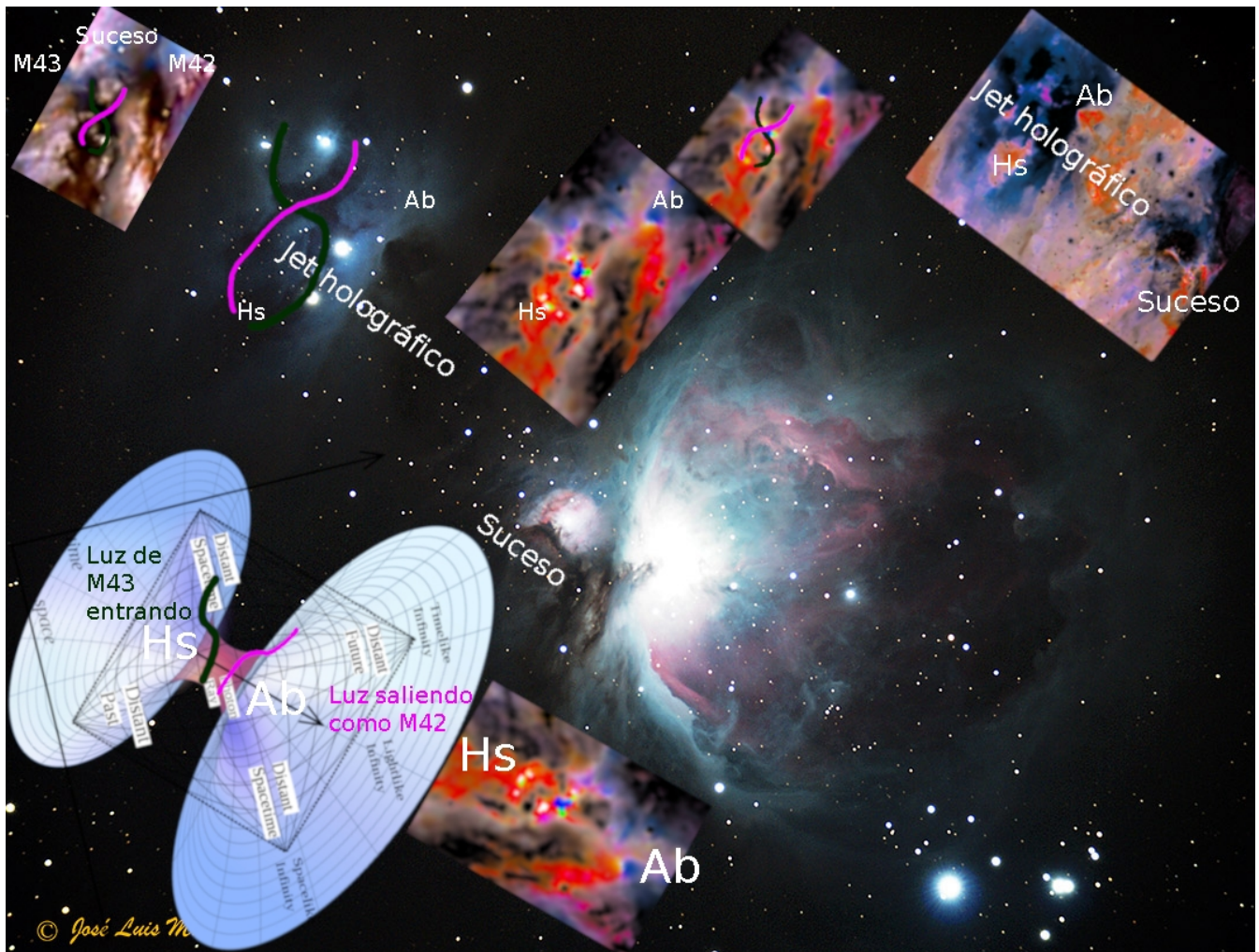
I. 8. ¿Es la barra de Orión el contra jet de Sh2-279?



I. 9. Hipotética perspectiva de jet y contra jet.

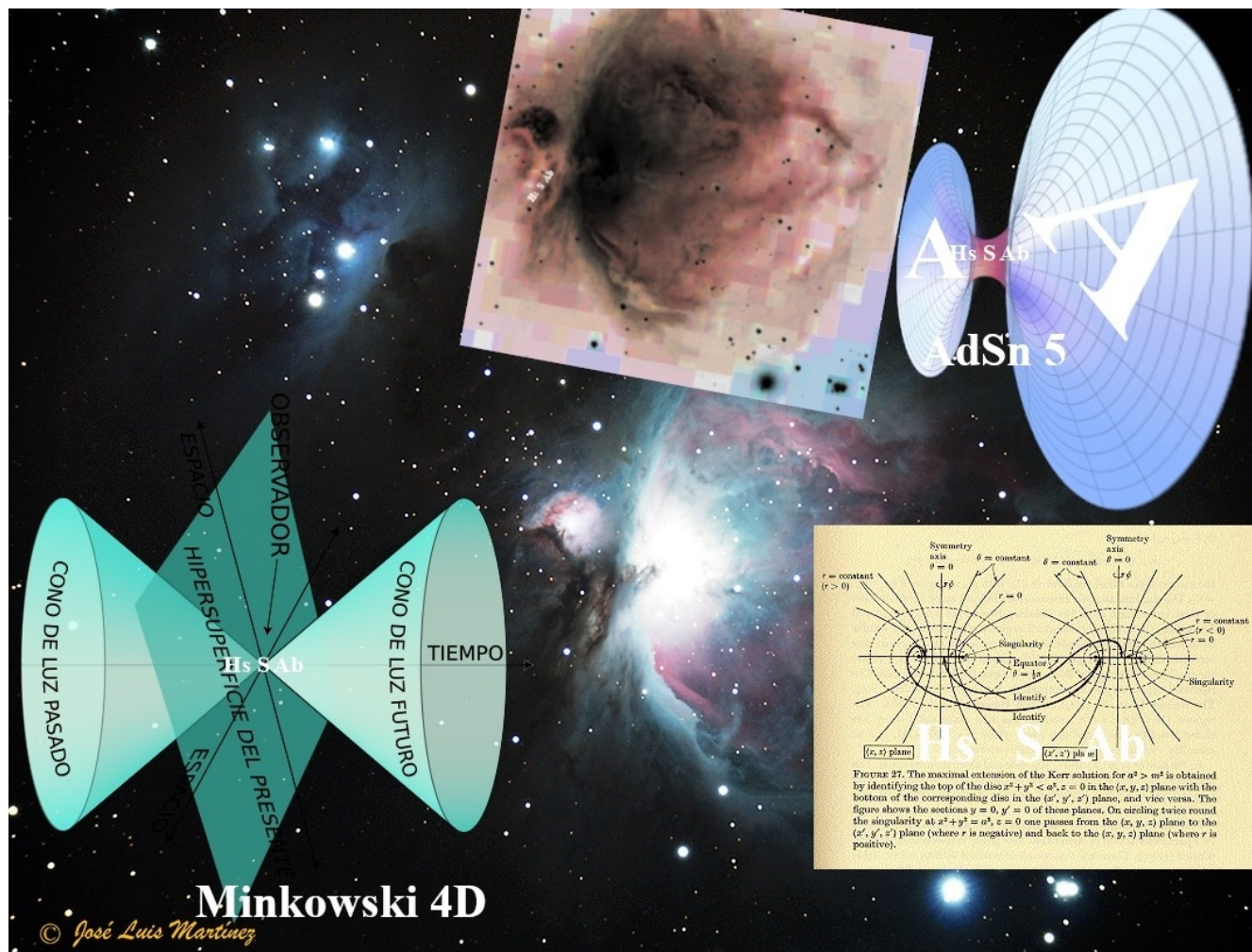


I. 10. Diagrama de Penrose-Carter como incrustado en AdS5.

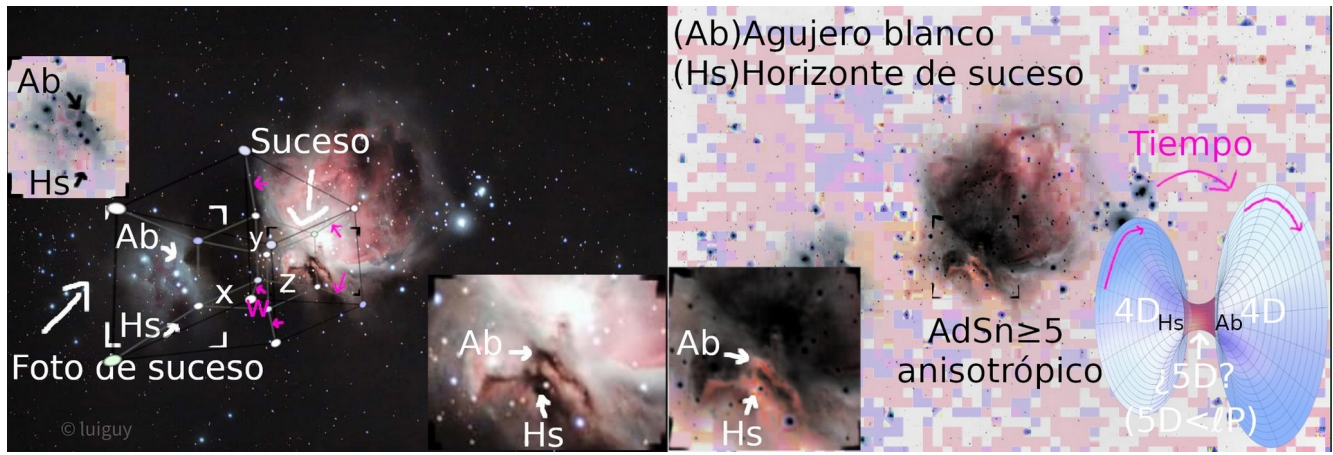


I. II. Anexos matemáticos.

I. II. 1. Hipotética transformación conforme.



I. II. 2. Sh2-279 como radiación en tesseracto y la flecha del tiempo. Hacia una descripción geométrica.



Todo lo que ocurre en cuatro dimensiones (objetos 3D en movimiento, historias o sucesos) puede ser descrito con información 2D de un hiperespacio 5D. En la imagen, Sh2-279 como información radiada en hiperpared de cuarto 5D (techo), mientras la singularidad y sus geodésicas de entrada y salida pueden ser vistas como el piso.

I. II. 3. Conos de luz Minkowski 4D y AdSn≥5 con lambda negativo.

61 - Curso de Relatividad General [Anti de Sitter]

OBJETIVO: construir métrica
espaciotiempo $R = \text{constante} < 0$
solución EINSTEIN $\Lambda < 0$
VACÍO

TIEMPO

CONO DE LUZ FUTURO

1-esfera
 $R^2 d\theta^2$
 $x^2 + y^2 = R^2$

2-esfera
 $R^2 (d\phi^2 + \sin^2 \phi d\psi^2)$
 $x^2 + y^2 + z^2 = R^2$

3-esfera
 $R^2 [d\rho^2 + \cos^2 \rho (d\alpha^2 + \sin^2 \alpha d\beta^2)]$
 $x^2 + y^2 + z^2 + w^2 = R^2$

ESPACIO

HIPERSUPERFICIE DEL PRESENTE

CONO DE LUZ PASADO

Desplázate hacia abajo para obtener más información

18:12 / 51:23

61 - Curso de Relatividad General [Anti de Sitter]

OBJETIVO: construir métrica
espaciotiempo $R = \text{constante} < 0$
solución EINSTEIN $\Lambda < 0$
VACÍO

TIEMPO

CONO DE LUZ FUTURO

1-esfera
 $R^2 d\theta^2$
 $x^2 + y^2 = R^2$

2-esfera
 $R^2 (d\phi^2 + \sin^2 \phi d\psi^2)$
 $x^2 + y^2 + z^2 = R^2$

3-esfera
 $R^2 [d\rho^2 + \cos^2 \rho (d\alpha^2 + \sin^2 \alpha d\beta^2)]$
 $x^2 + y^2 + z^2 + w^2 = R^2$

ESPACIO

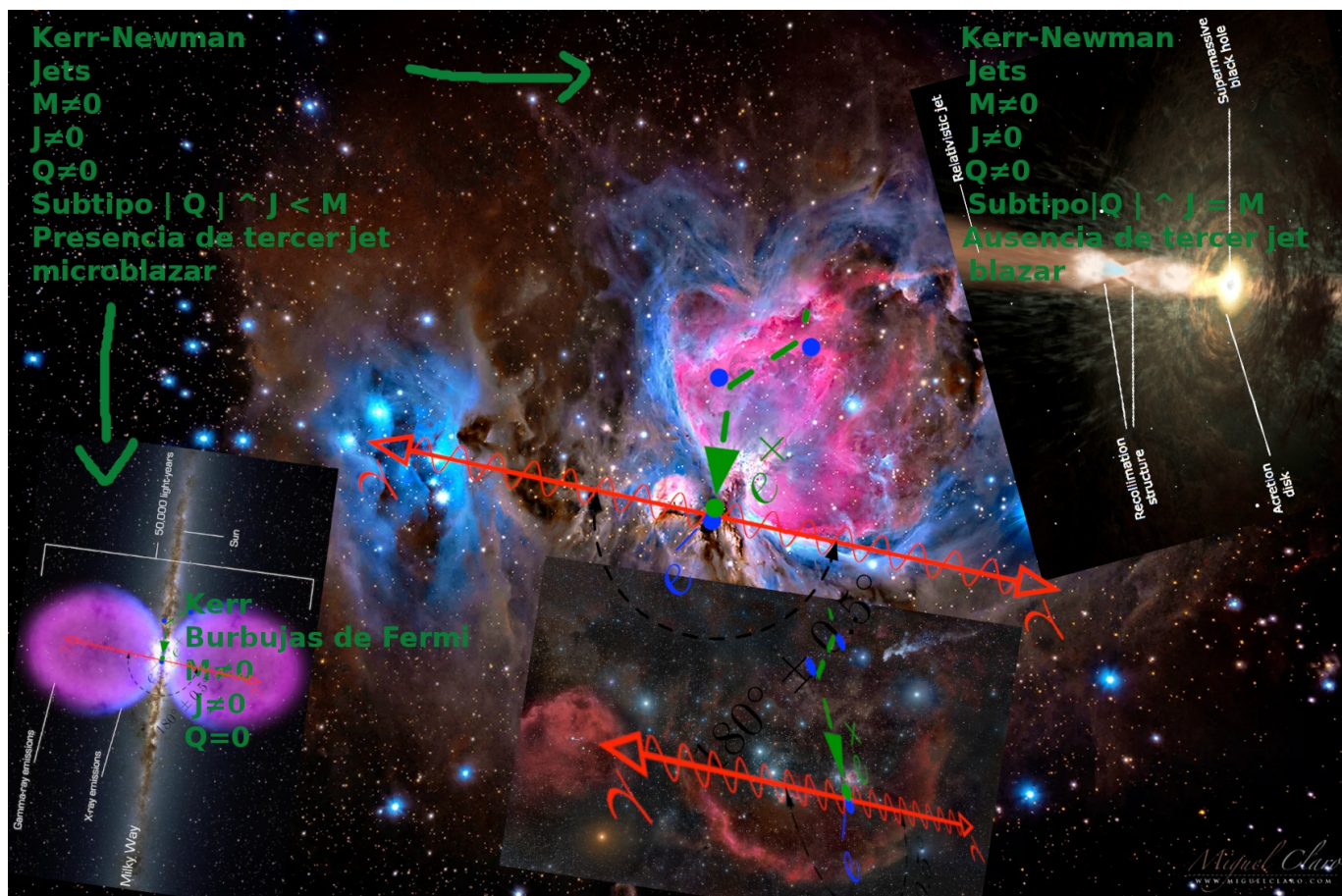
HIPERSUPERFICIE DEL PRESENTE

CONO DE LUZ PASADO

Desplázate hacia abajo para obtener más información

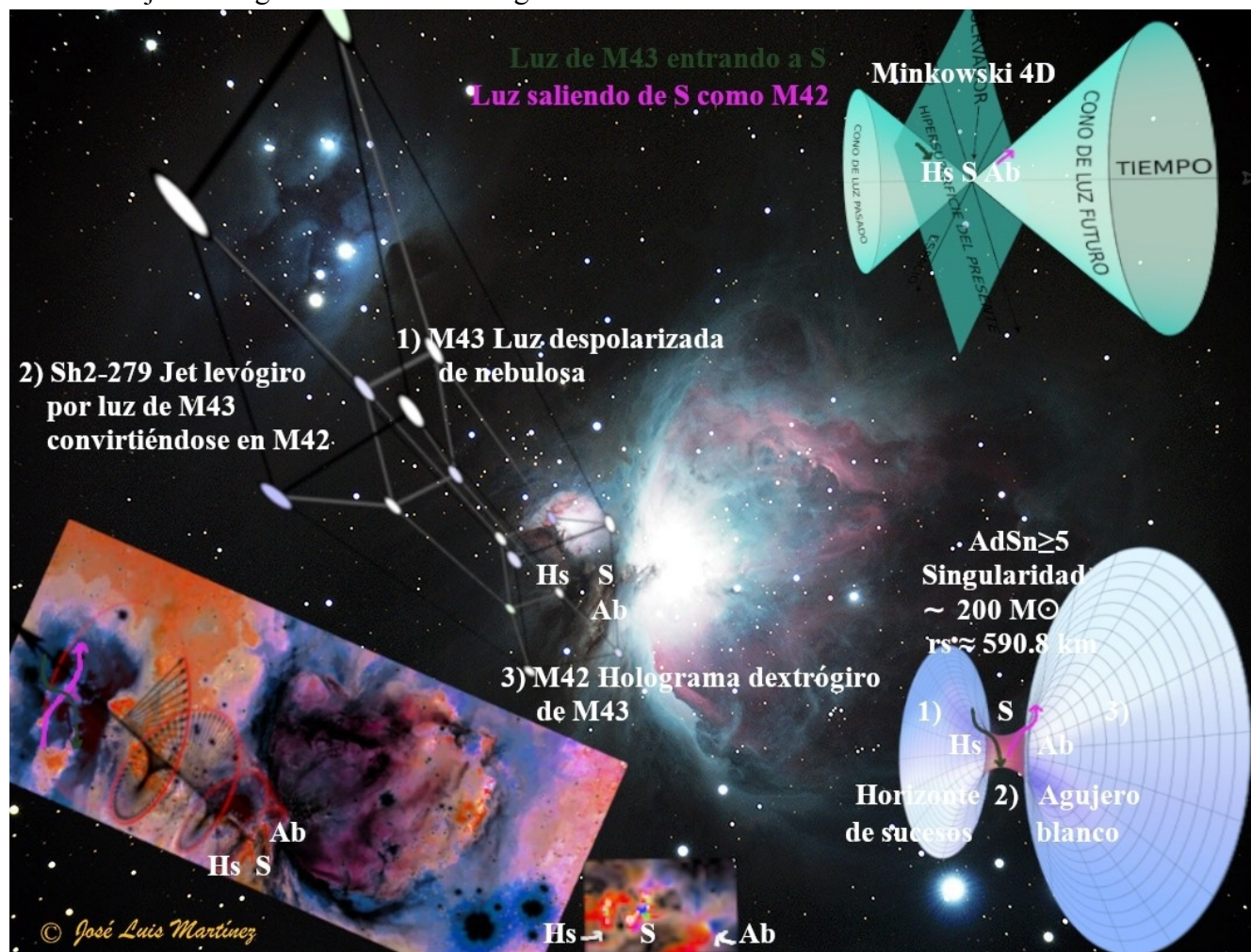
18:12 / 51:23

I. II. 4. Hipotéticos casos de Kerr-Newman subtipo $|Q| \wedge J < M$ y subtipo $|Q| \wedge J = M$.



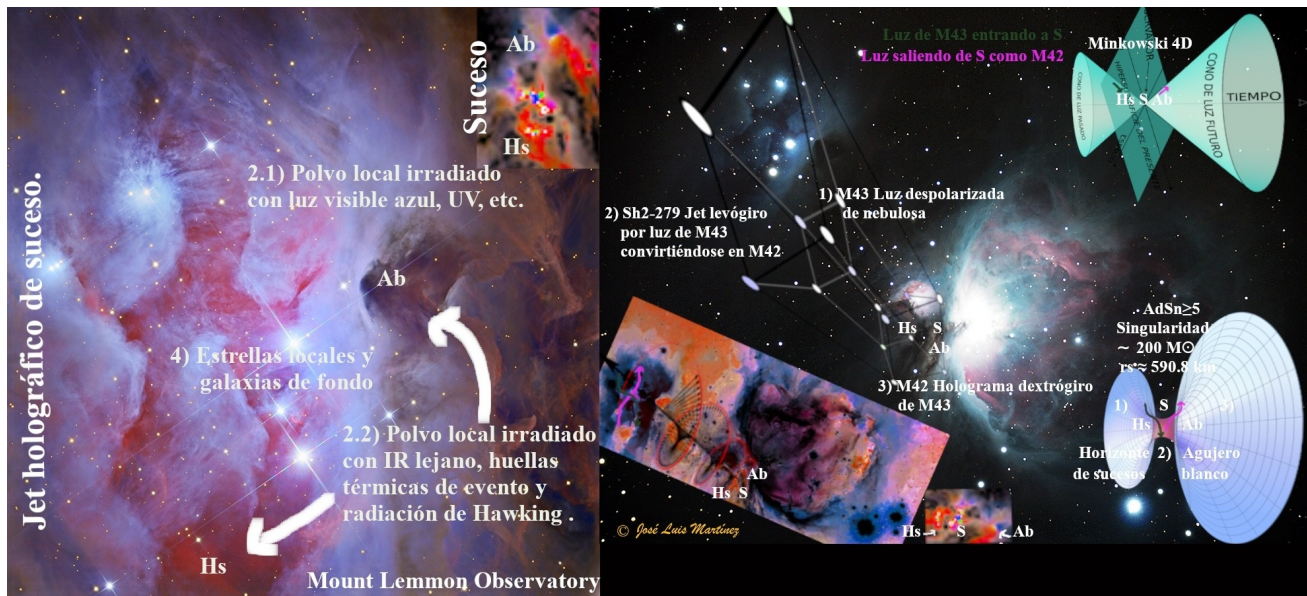
II. Conjetura. Sh2-279 como jet holográfico por efecto Cherenkov inverso de disco de acreción entre M43 y M42.

II. 1. Todo jet de singularidad es una holografía de su evento.



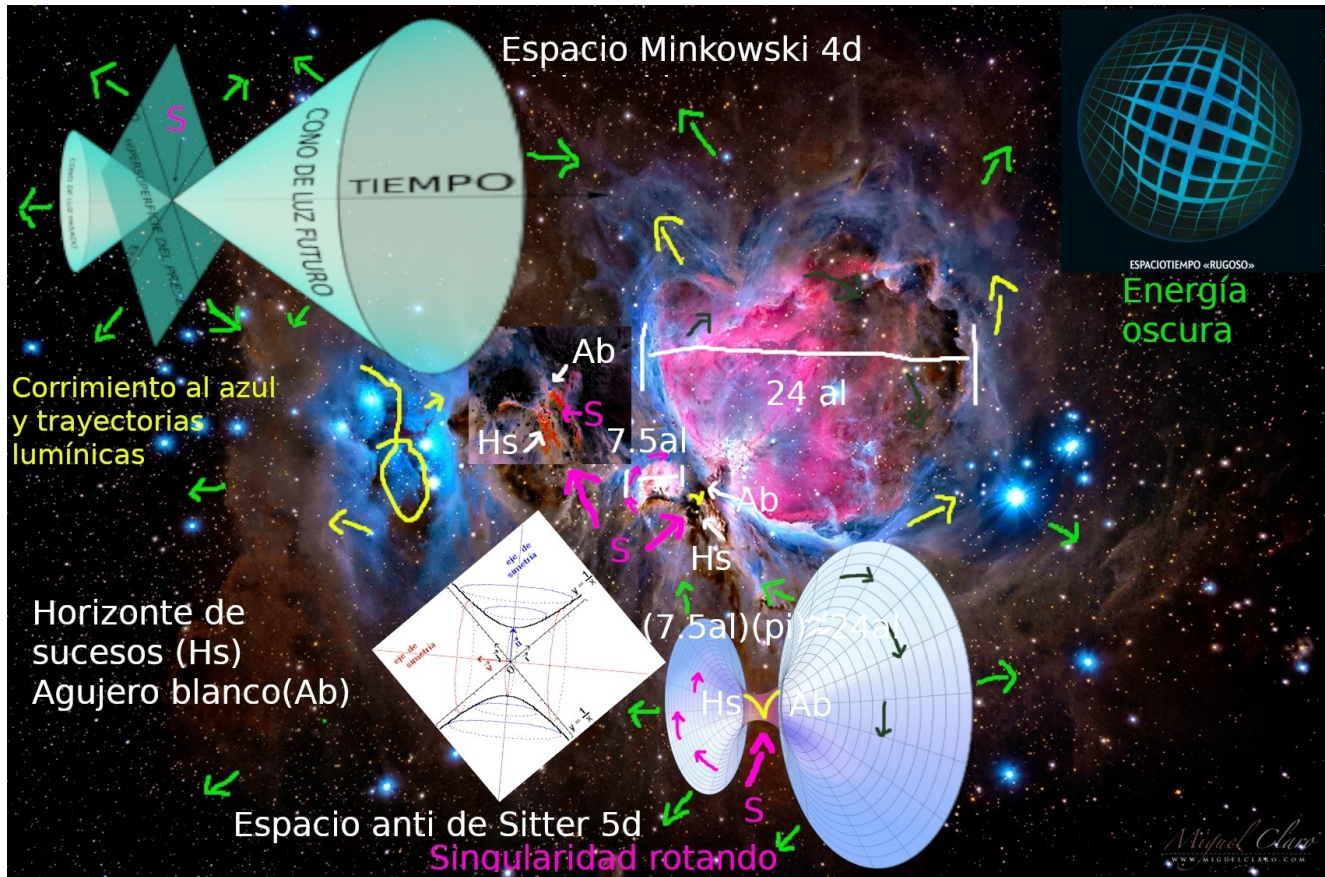
En la imagen, Sh2-279 como jet levógiro en superficie de tesseracto.

II. 2. Sh2-279 como jet holográfico de suceso M43-M42.

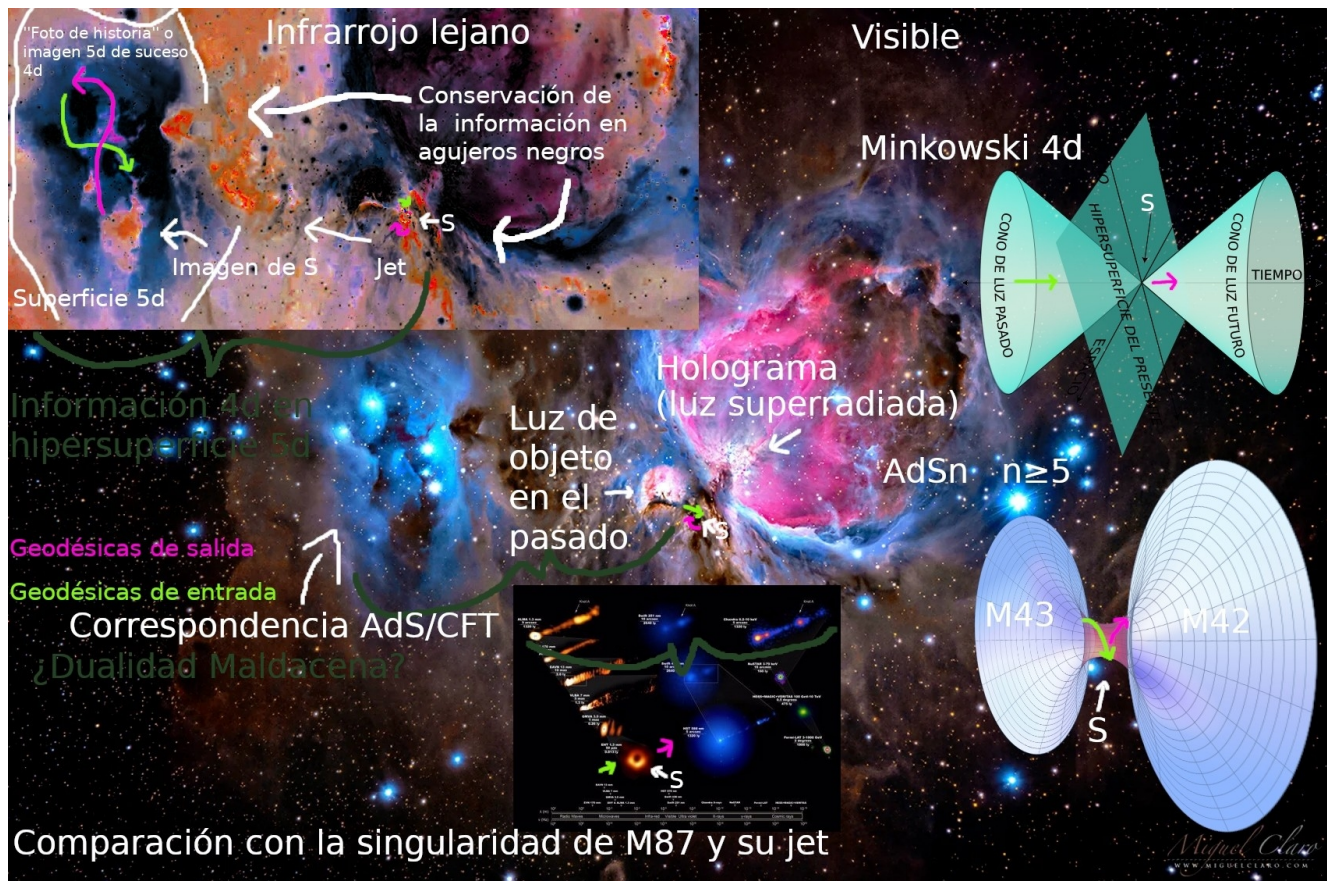


M42 como futuro o luz superradiada de M43 y Sh2-279 el jet con información o mapa detallado de ese posible viaje superlumínico o en el tiempo a través de una dimensión compactificada por debajo de la longitud de Planck.

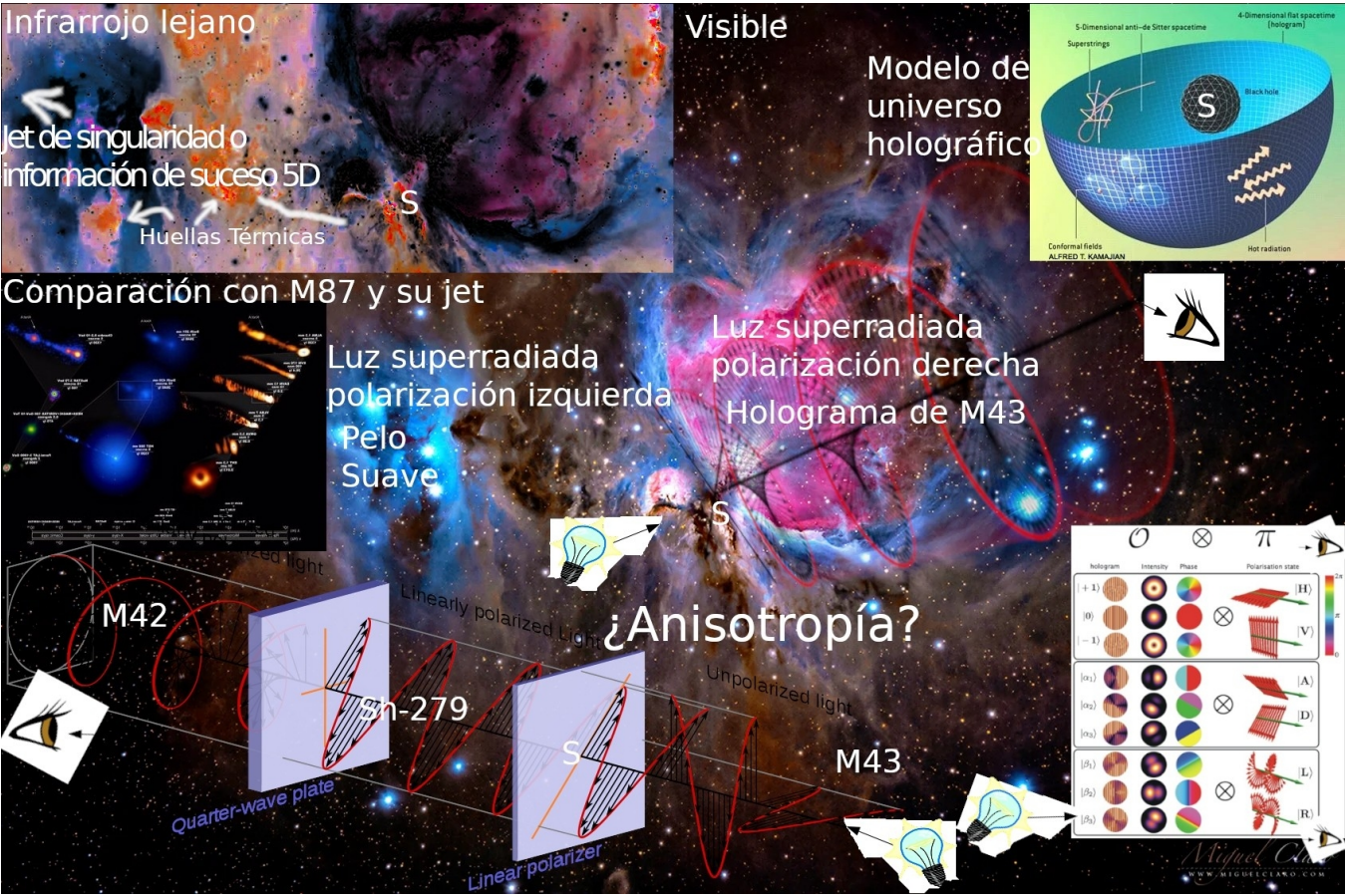
II. 3. Modelo $AdS_{n \geq 5}$ con constante cosmológica negativa por debajo de la longitud de Planck, singularidad rotatoria entre M43, Sh2-279 y M42. Continuidad lumínica entre M43 y M42 de trayectoria superradiada a modo de Sh2-279.



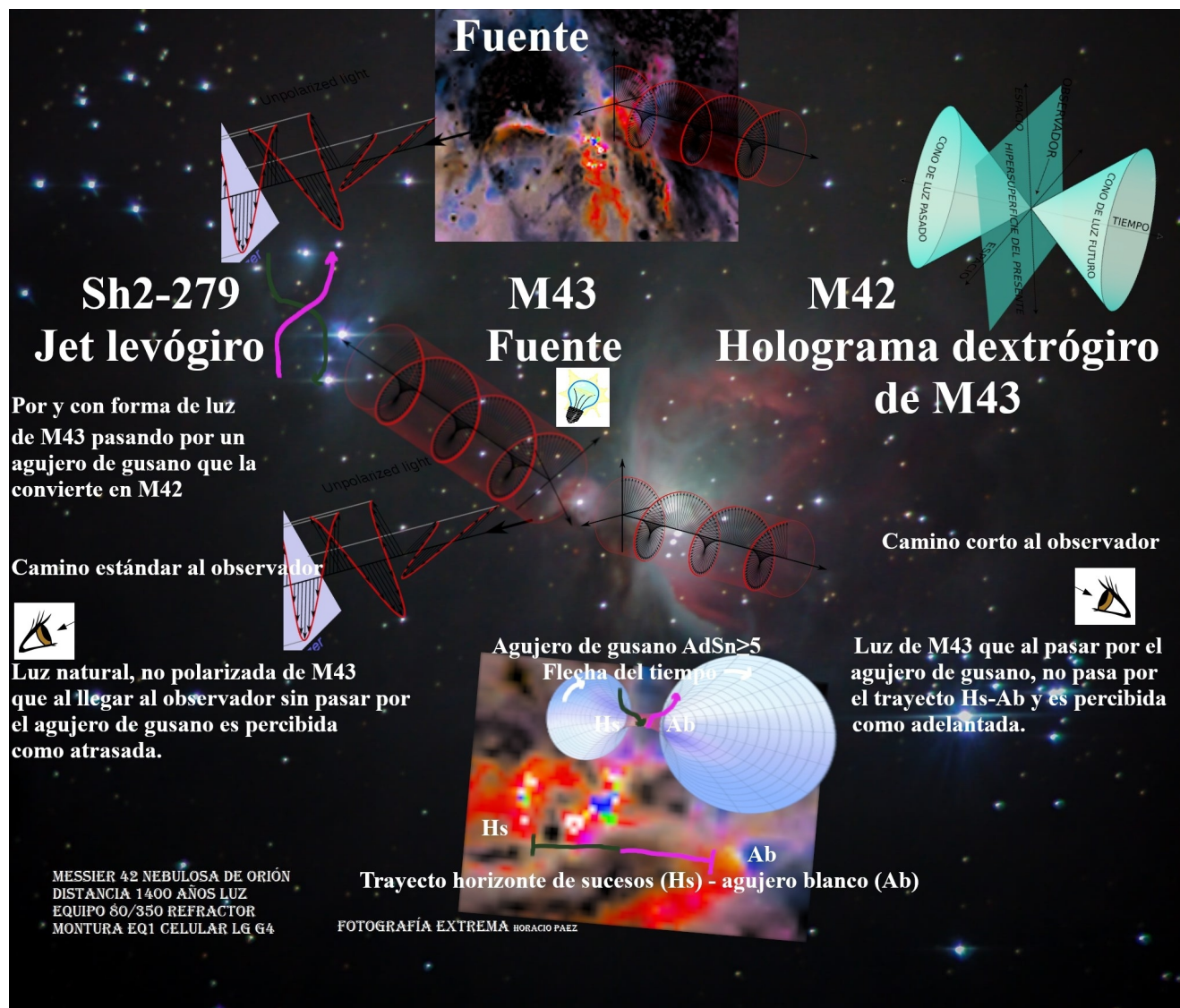
II. 4. Dualidad Maldacena. Conservación de la información por jet de singularidad superradiante o imagen 2D de acontecimiento 4D.



II. 5. Singularidad giratoria, posible superradiación y universo $AdS_{n \geq 5}$ con anisotropía.



II. 6. Hipotética velocidad superlumínica general por agujero de gusano, sin violación local a la velocidad de la luz, percibida como luz adelantada a su fuente.



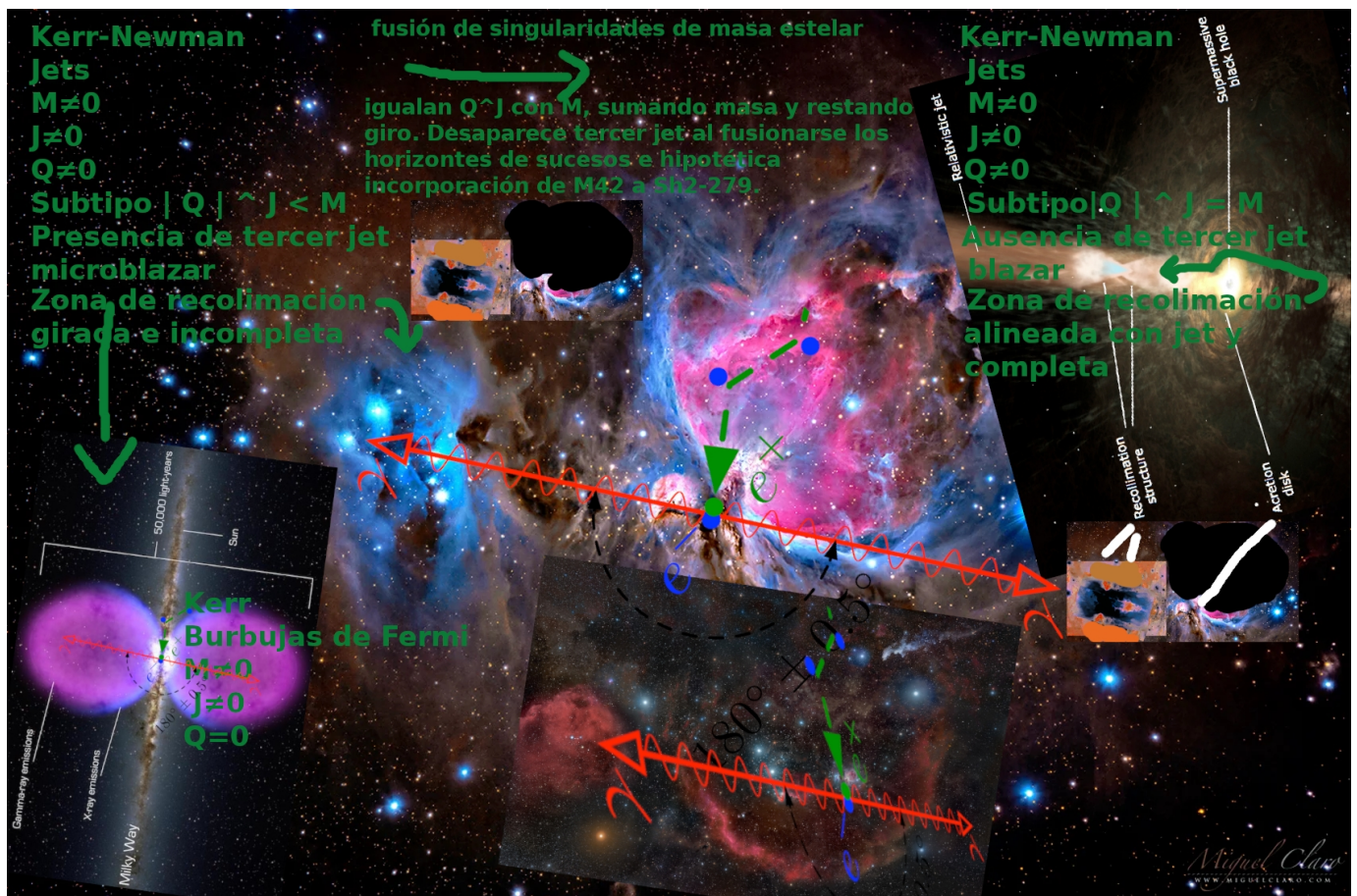
II. 7. Modelo unificado de núcleos galácticos activos contra hipotético micro blazar-cuasar.



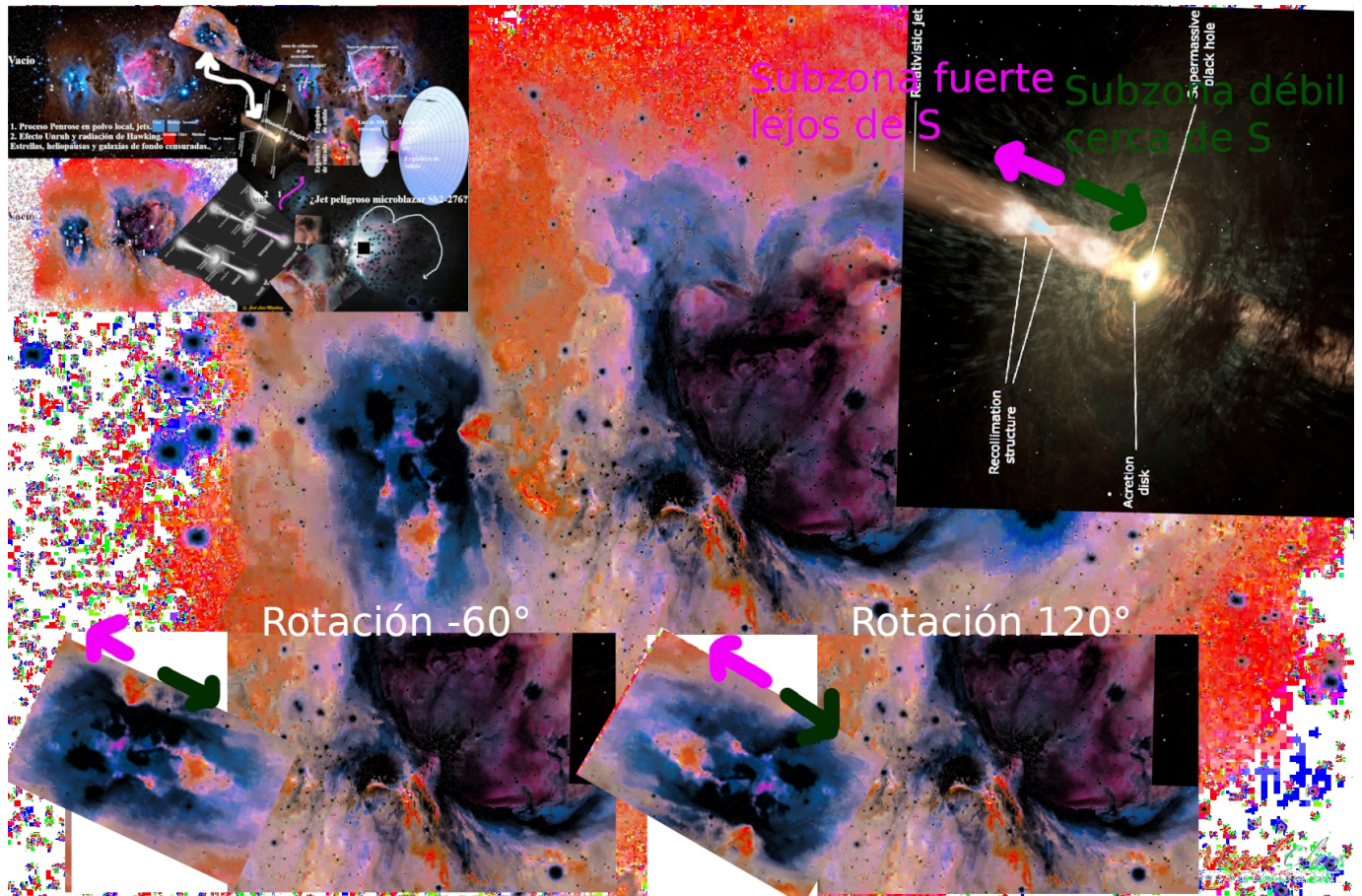
© José Luis Martínez



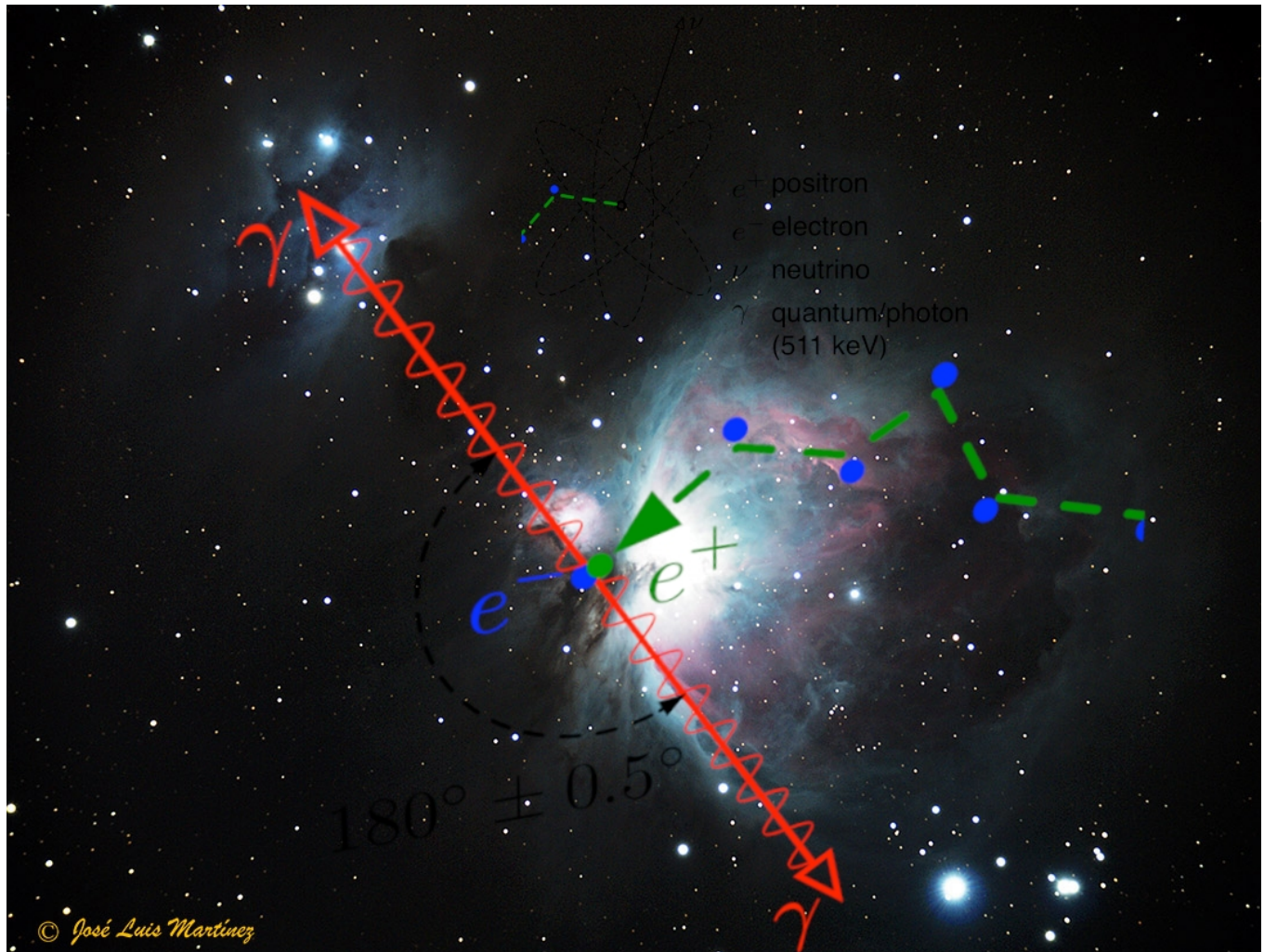
II. 9. Hipotética filogenia de singularidades deducida por jets.



II. 10. Hipotéticas subzonas de recolimación.



II. 11. Jets Blandford–Znajek de microcuasar como cascada par e^\pm aniquilándose.



1A. Ausencia de blazar. 1B. Presencia de blazar.

2A. Zona de recollimación de jet acercándose completa y no girada. 2B. Zona de recollimación de jet acercándose incompleta y girada.

3. Hipotéticas sub-zonas débil y fuerte de recollimación.

4A. Holografía simétrica de luz entrando a singularidad. 4B. Holografía asimétrica por luz entrando y saliendo superradiada de singularidad.

Relativistic jet

Recollimation structure

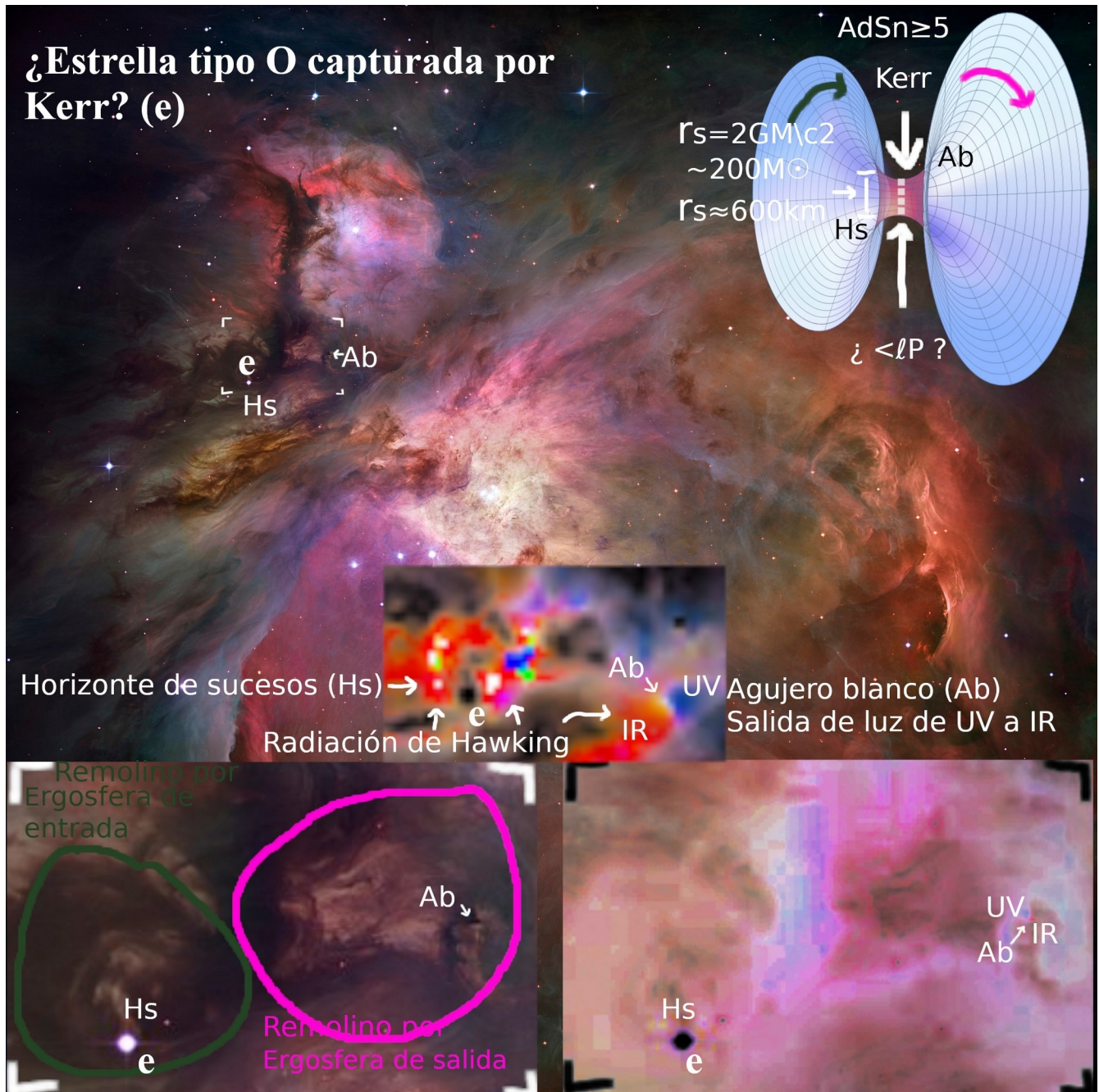
Acretion disk

Jet holographic structure

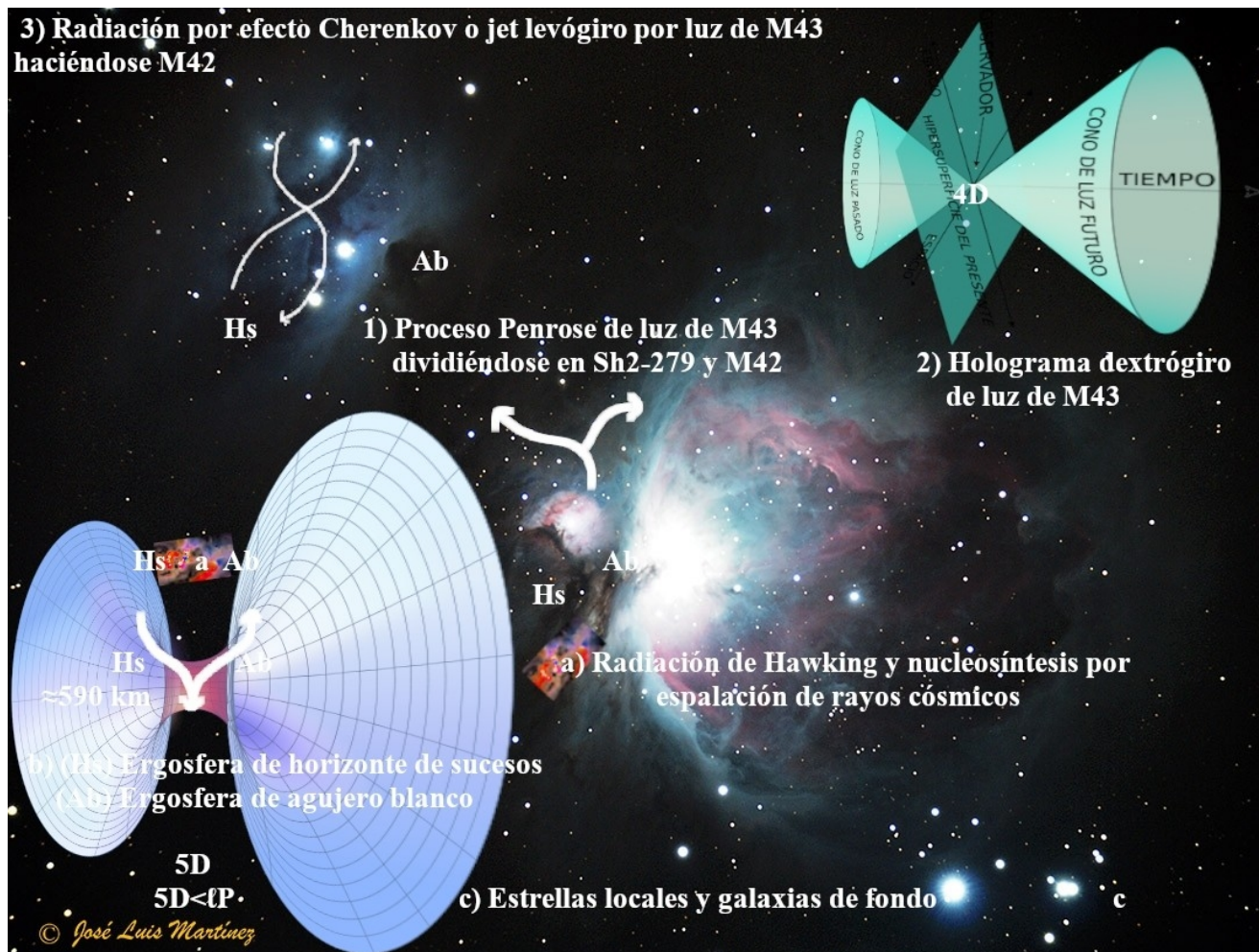
1A 1B 2A 2B 3 3A 3B 4A 4B



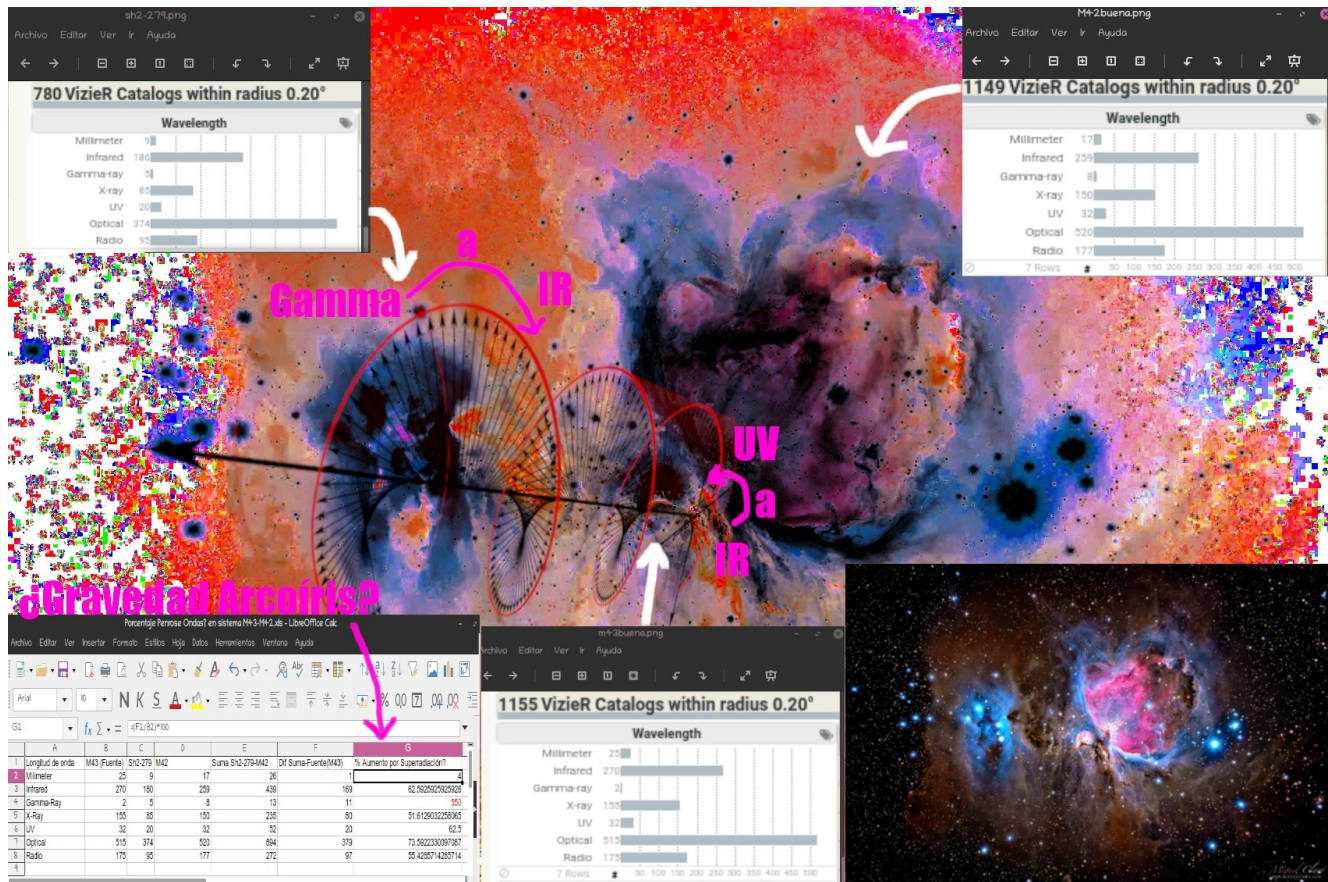
III. Posibles comprobaciones y Teoría M.
 III. 1. ¿Estrella tipo O capturada por Kerr?



III. 2. Posible Proceso Penrose de luz de M43 subdividido en holograma dextrógiro M42 y su efecto Cherenkov o jet levógiro Sh2-279.



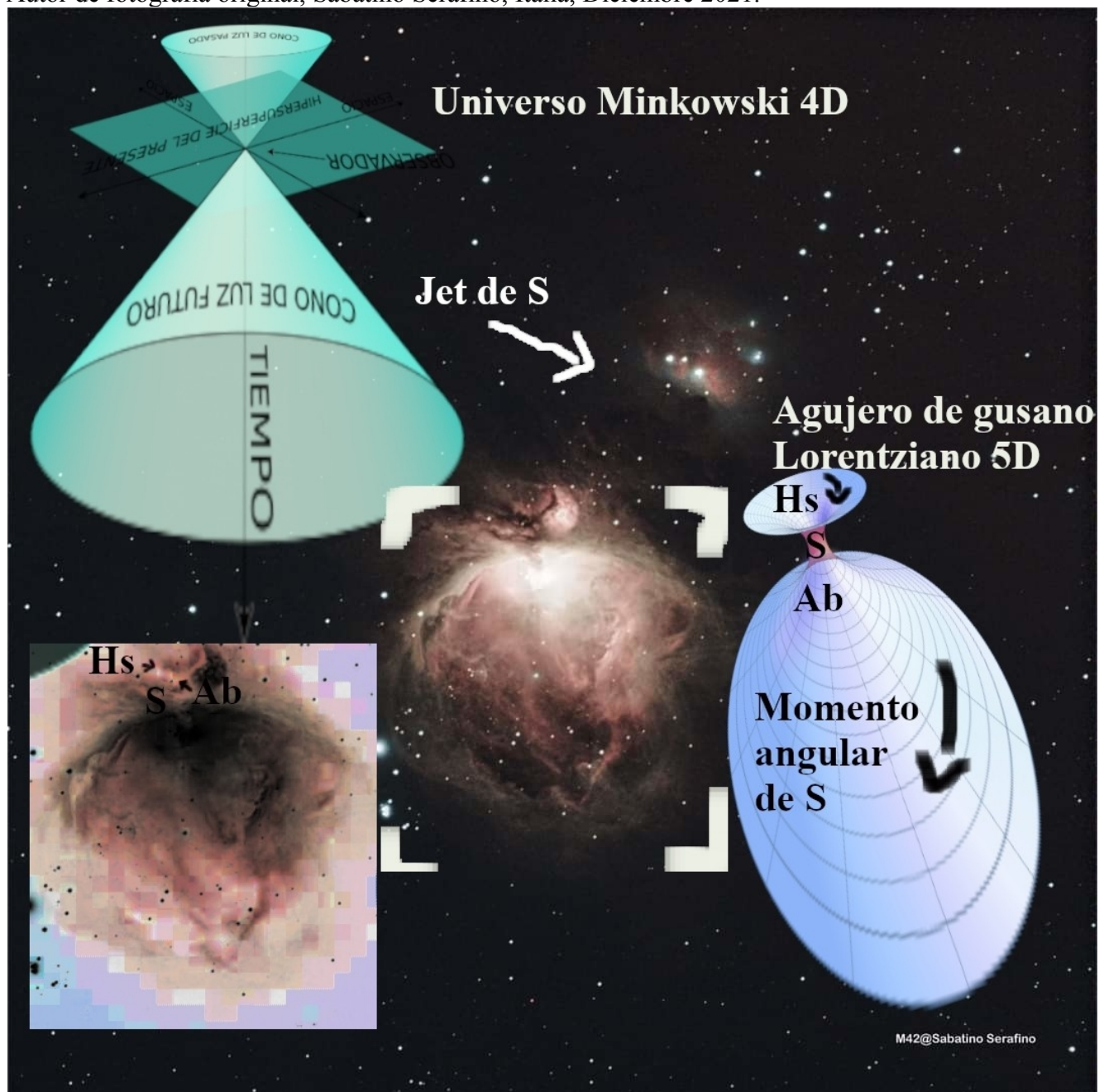
III. 3. Sh2-279 como Jet levógiro e indicios de gravidade arcoíris en análise de longitudes de onda.

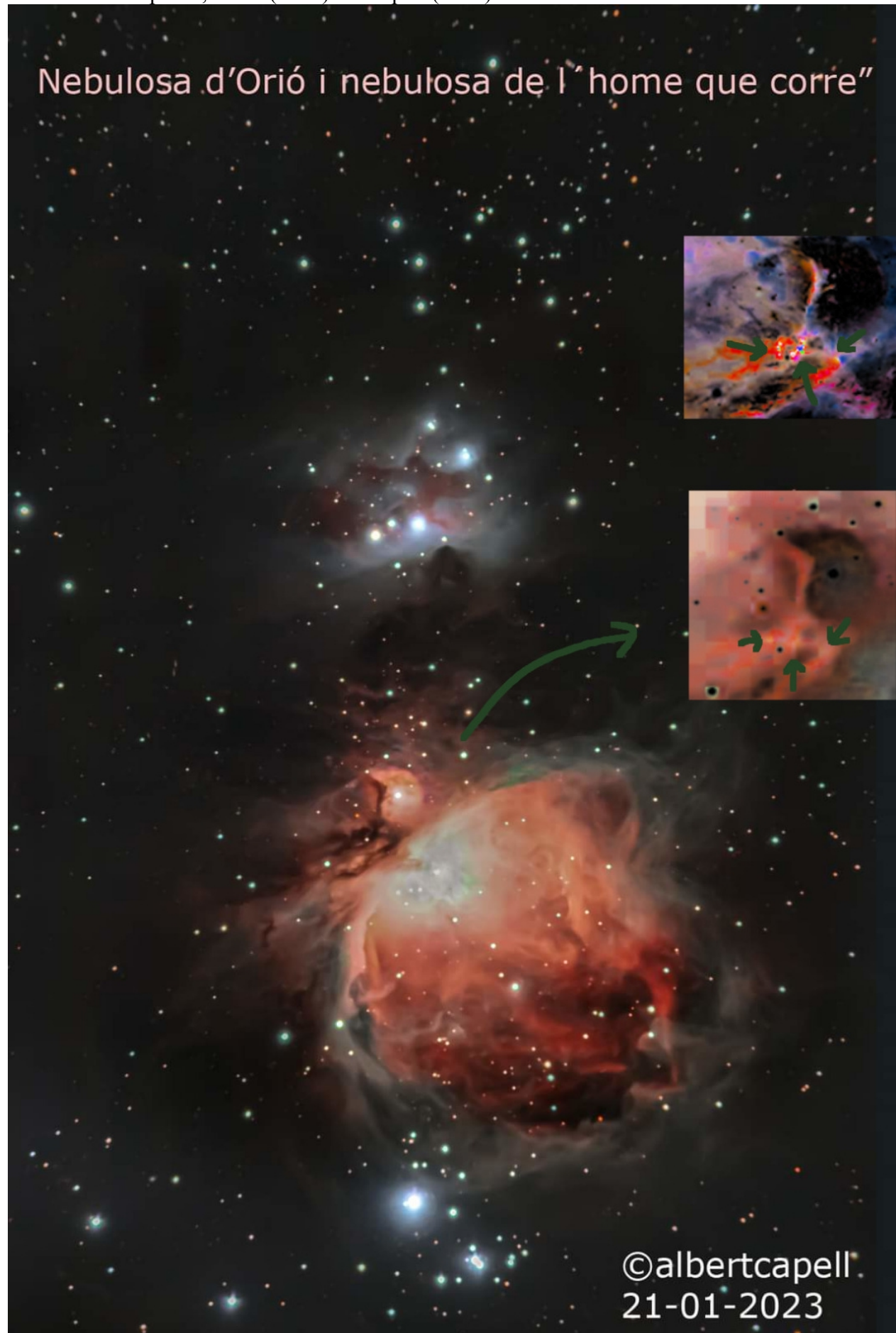


[illegible]

III. 5. Ejemplo de evidencia empírica.

Autor de fotografía original, Sabatino Serafino, Italia, Diciembre 2021.

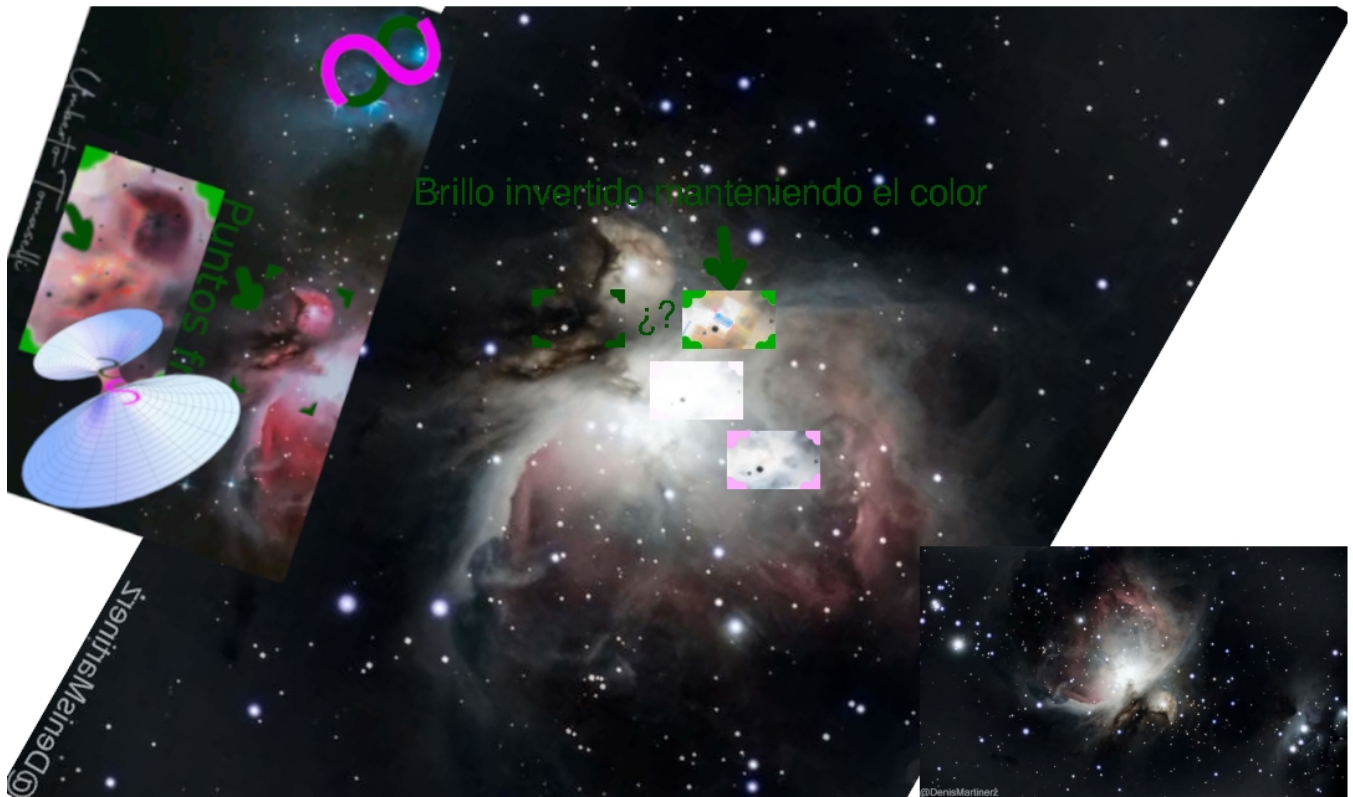




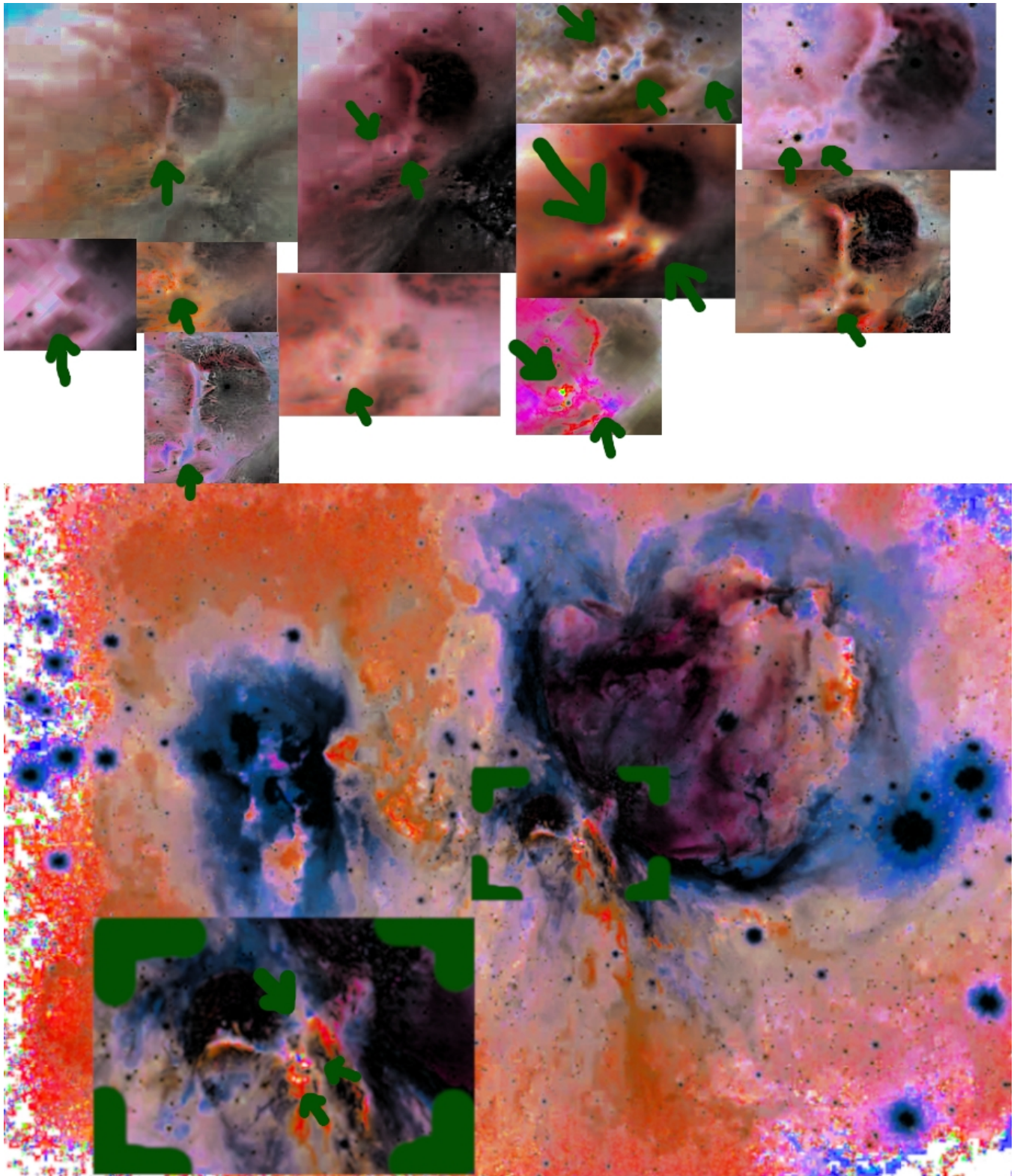
III. 7. Evidencia empírica, autor desconocido (2023).



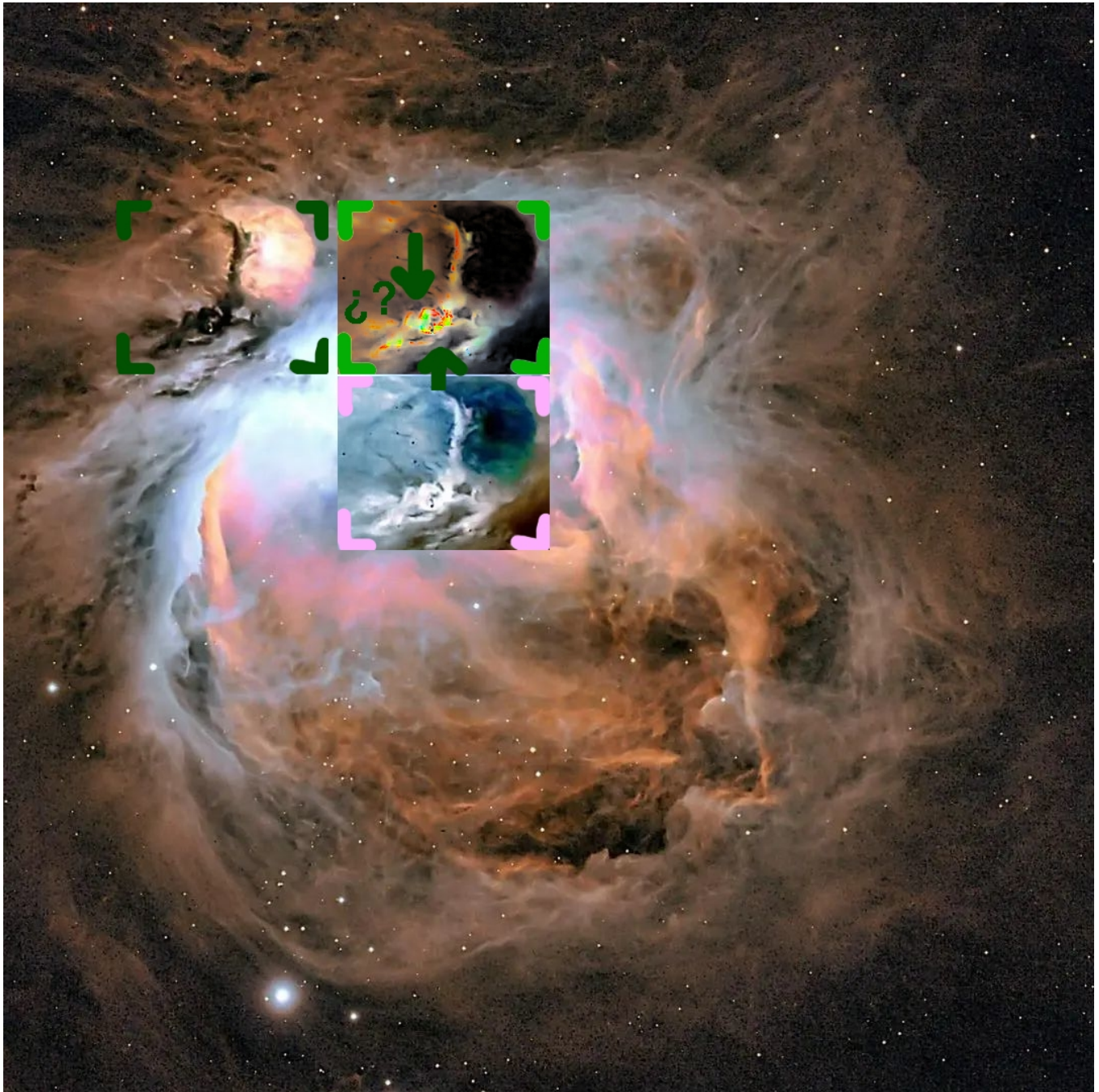
III. 8. Evidencia empírica, comparación Martinerz (2023) y Tomaselli (2023).



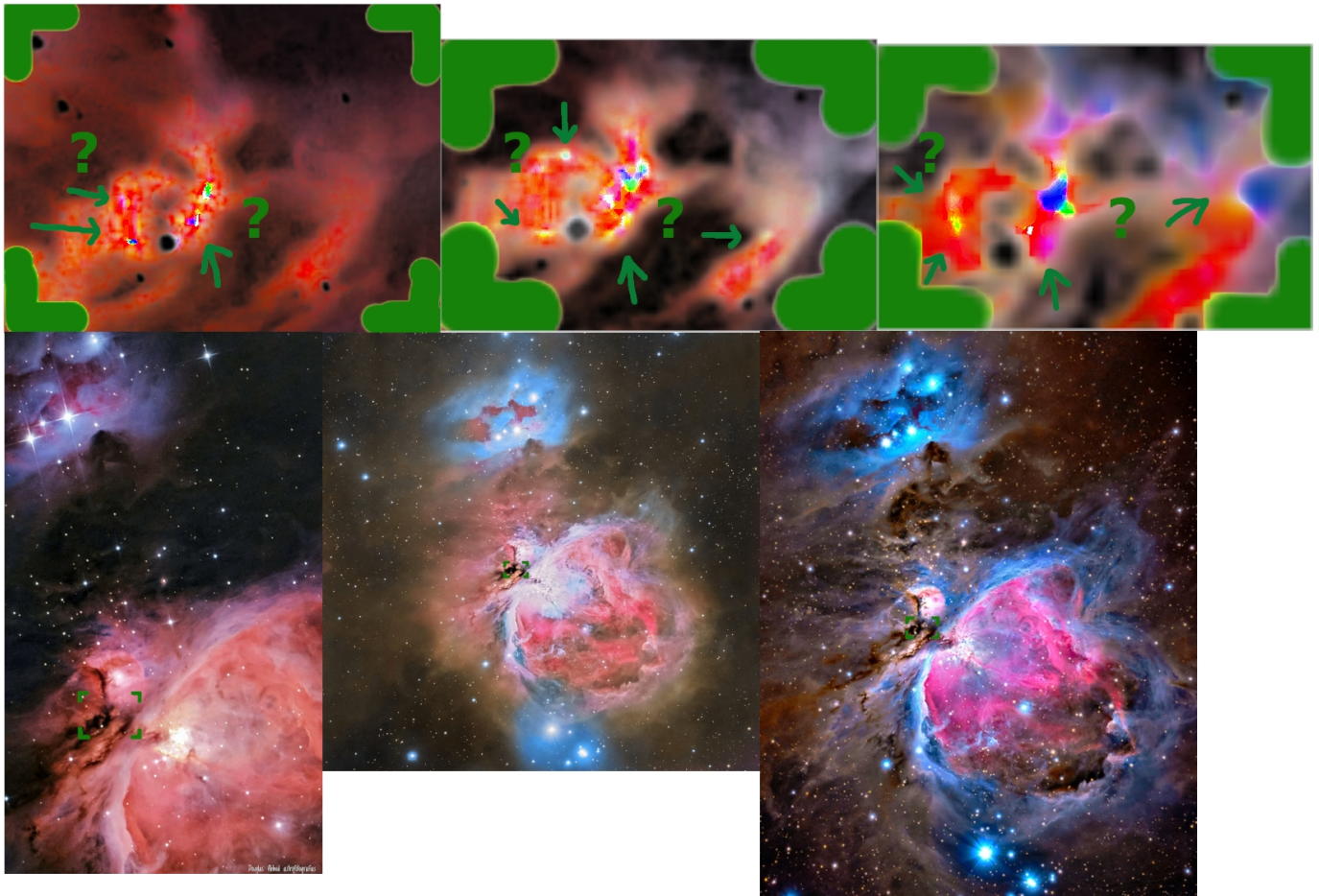
III. 9. Comparación de irregularidades térmicas en polvo entre M43 y M42, Claro (2021) y 11 invertidas autores varios 2021-2023.



III. 10. Ejemplo de evidencia empírica, @chinomoro_astrofotografia (2023).



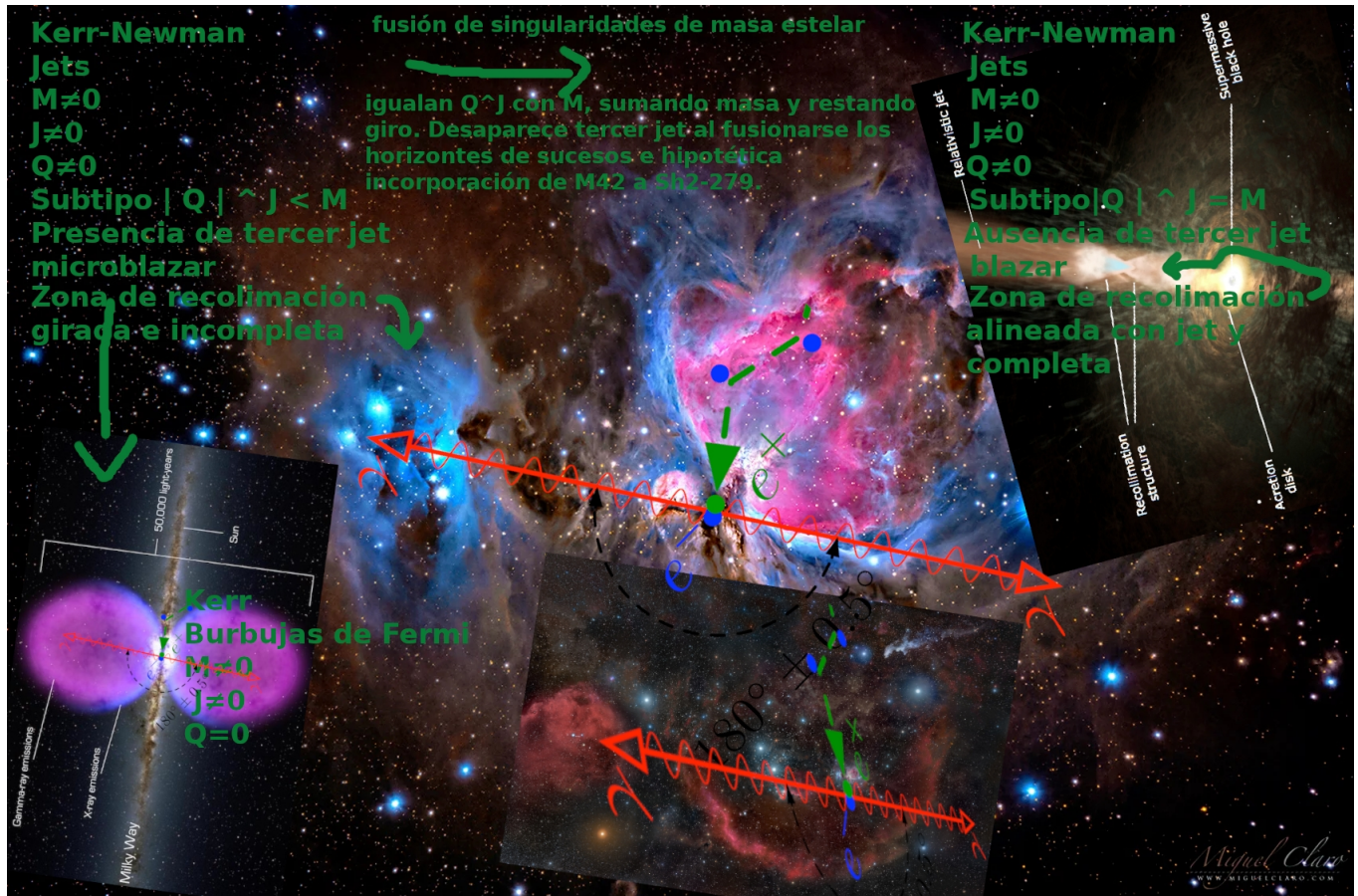
III. 11. Comparación de evidencia, Douglas Abbud (2023), Chuck's Astrophotography (2023) y Claro (2021).



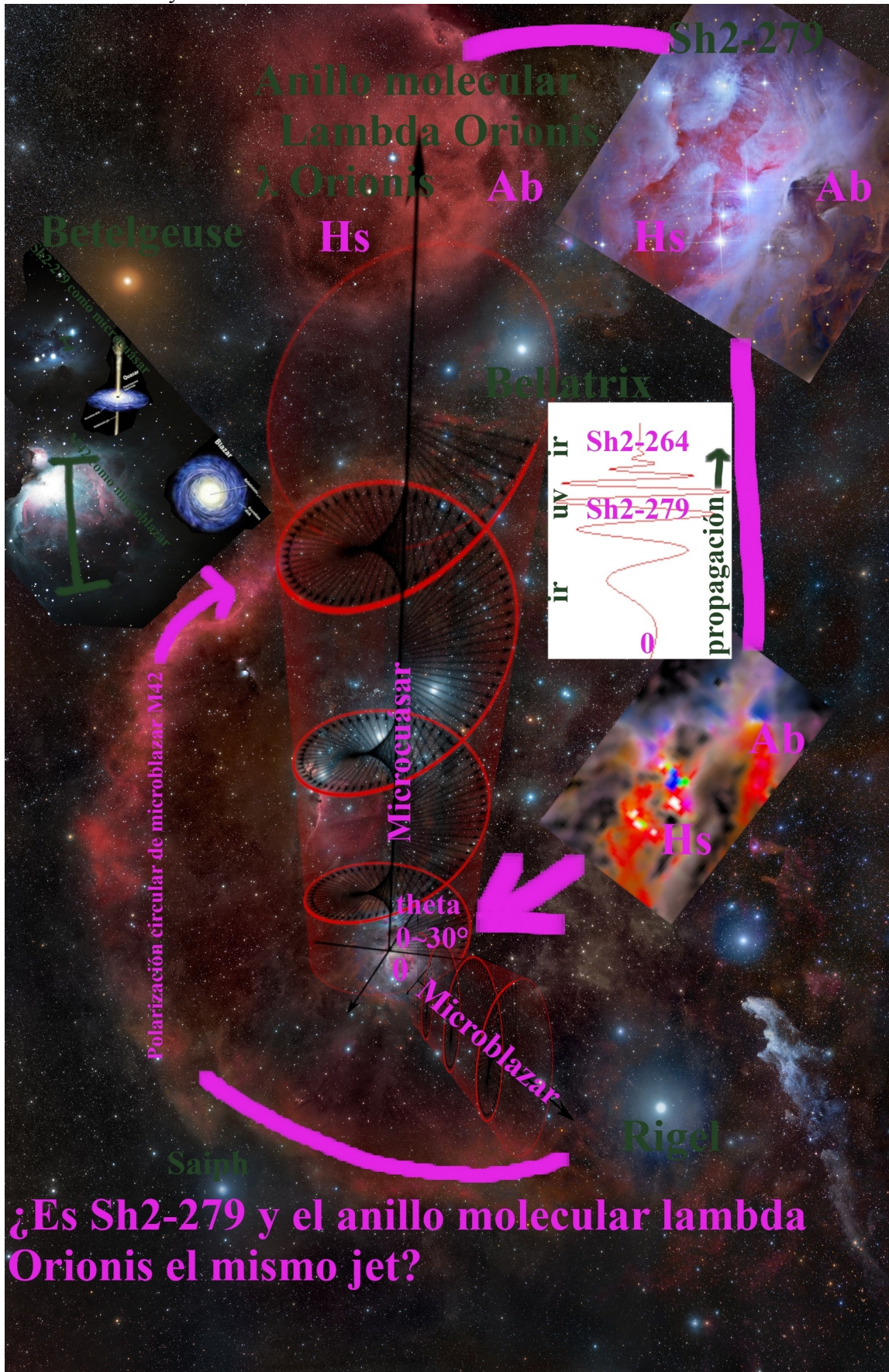
III. 12. Comparación de evidencia, Susana Marto (2023), Space x lovers (2023), Hubble (2006) y Claro (2021).



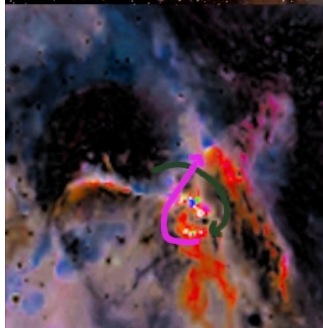
III. 13. Conjetura de Kerr-Newman subtipo $|Q| \wedge J < M$ masa estelar a intermedia y su posible decaimiento a subtipo $|Q| \wedge J = M$ y a Kerr por pérdida de carga.



III. 14. Sh2-279 y Sh2-264 como el mismo microcuasar.

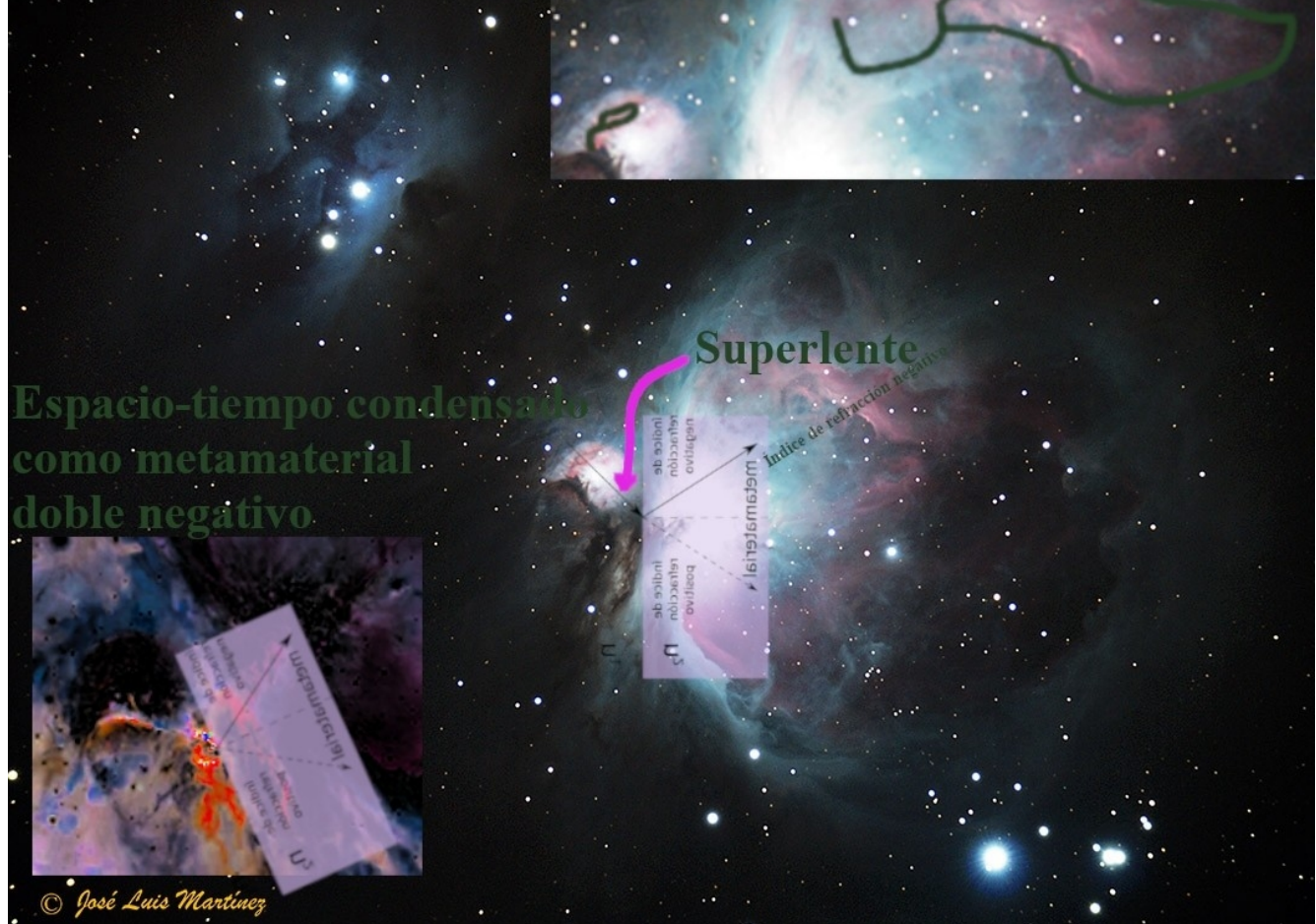


Hipotéticas trayectorias de proceso Penrose

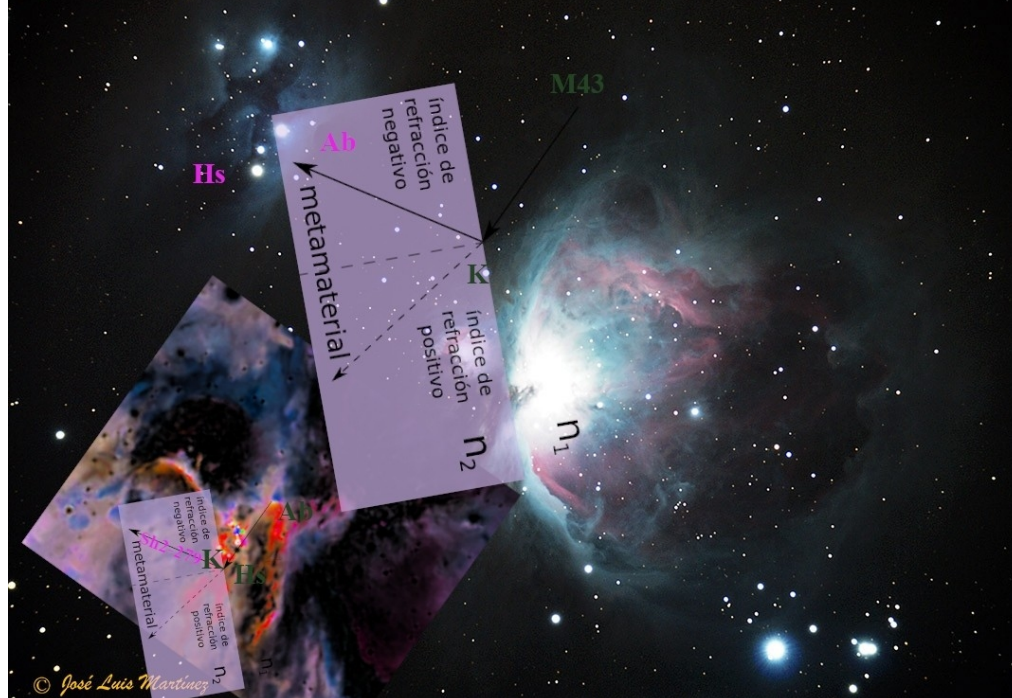


III. 16. Hipotético espacio-tiempo entorno a Kerr como metamaterial doble negativo.

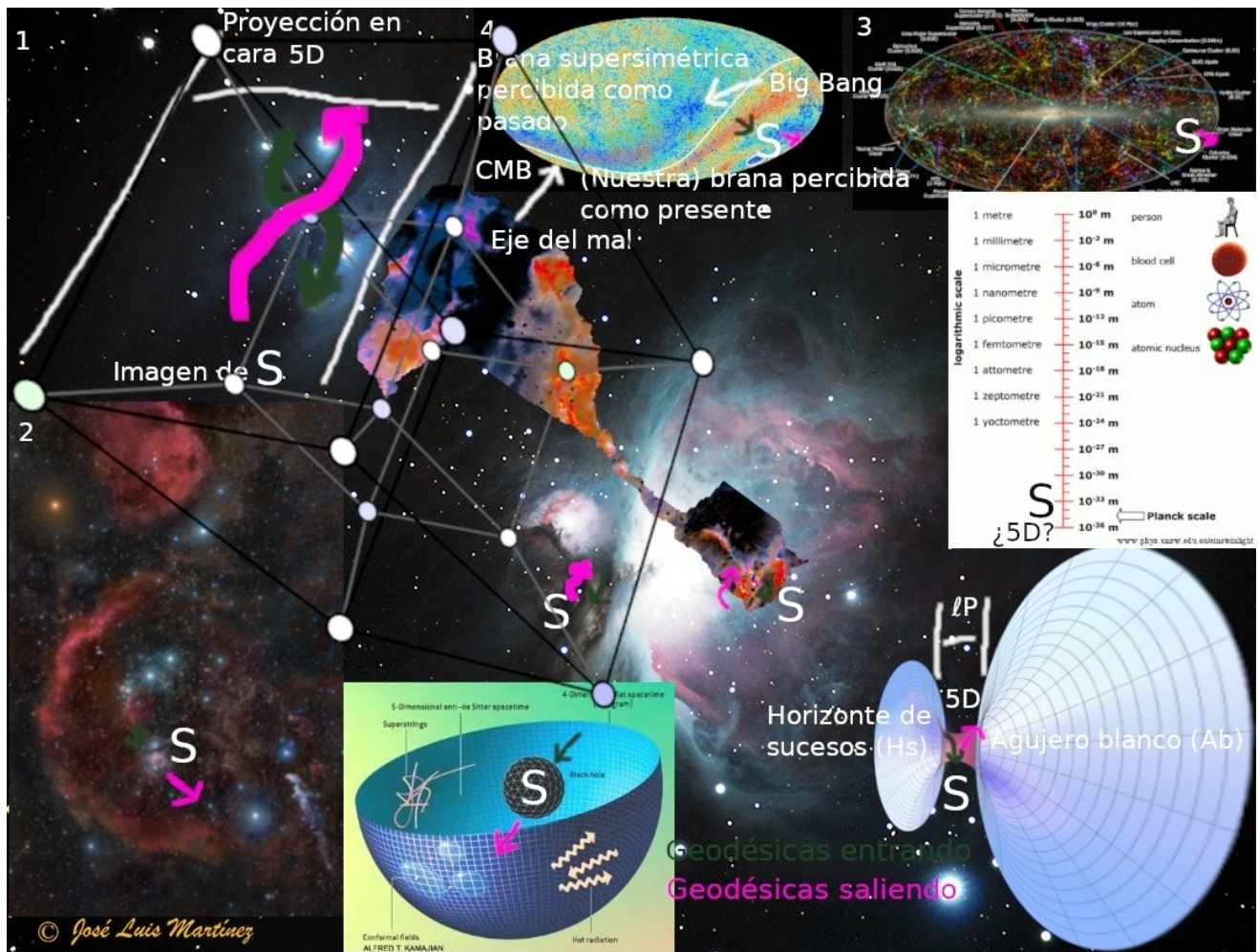
¿Es M42 luz expandida, girada e invertida de M43?



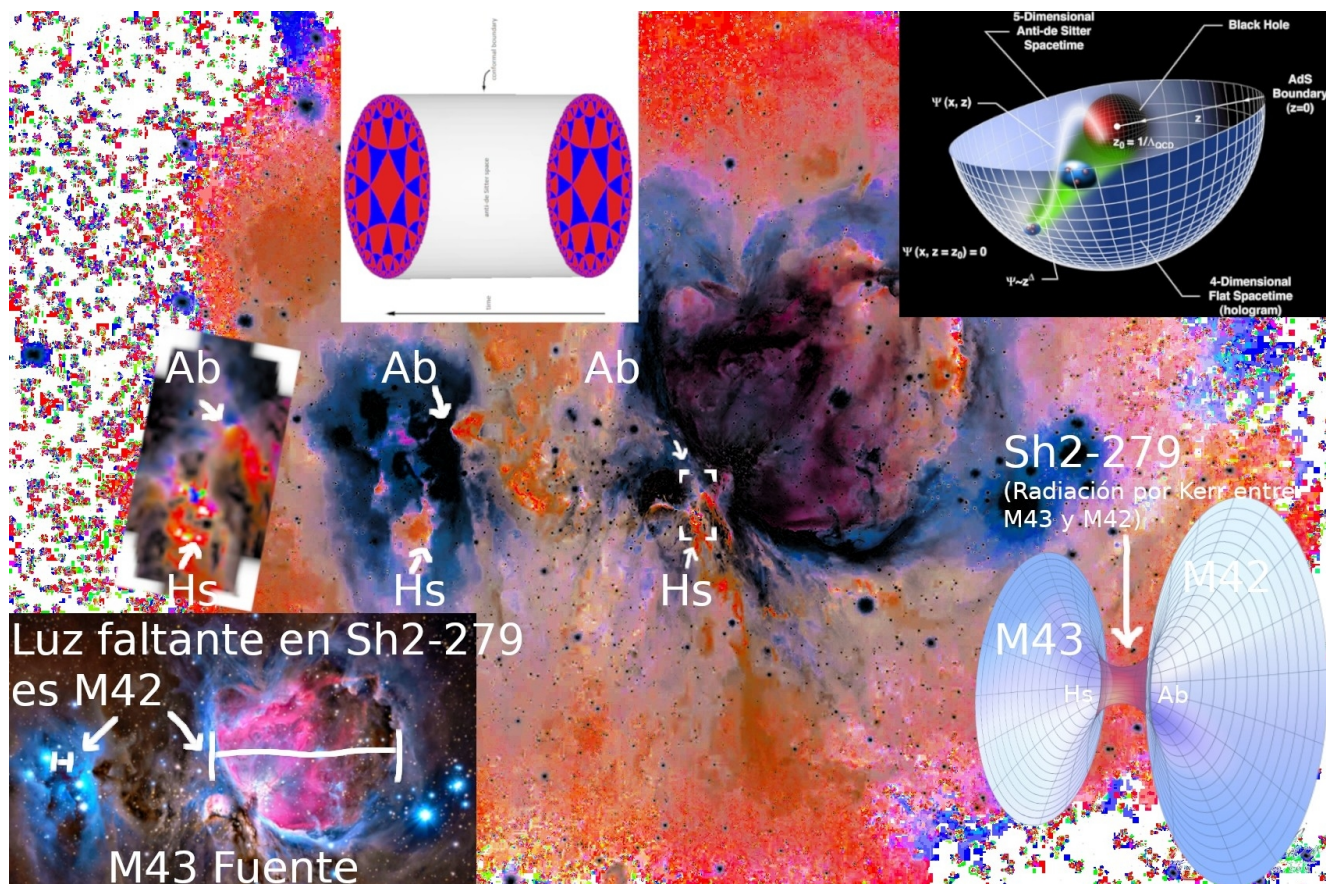
Hipotético espacio-tiempo entorno a Kerr como material con índice de refracción negativo.



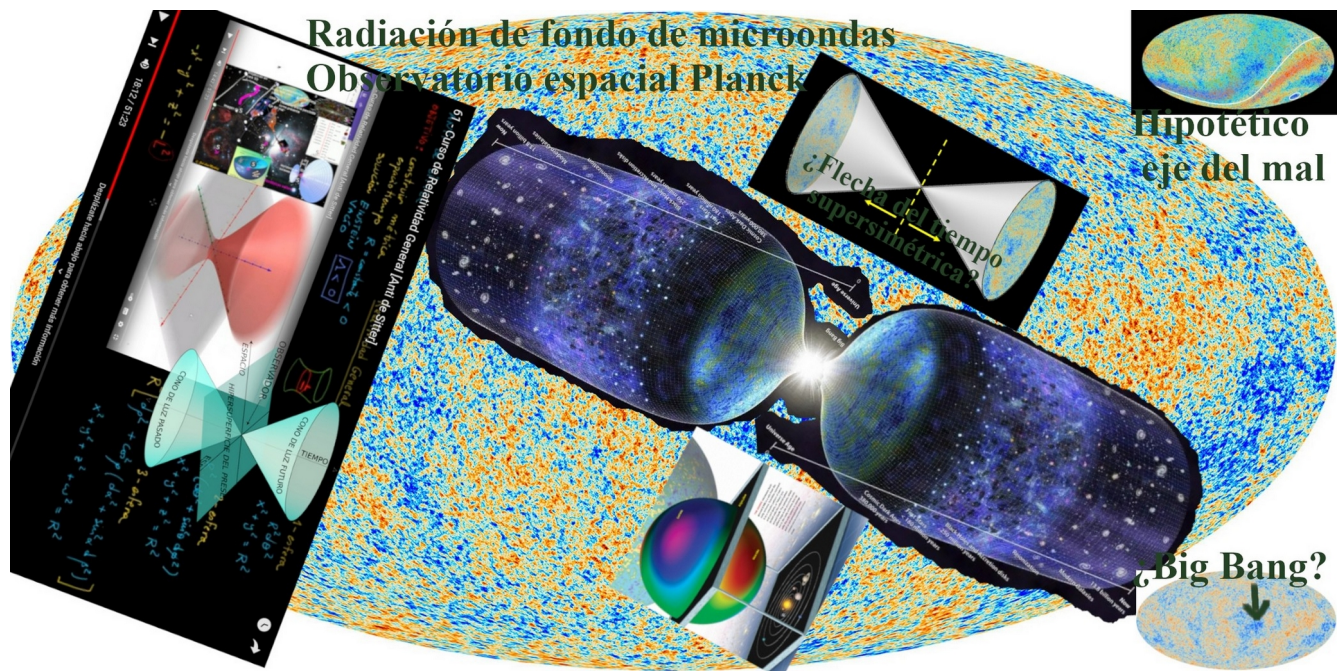
III. II. Hacia una teoría M.



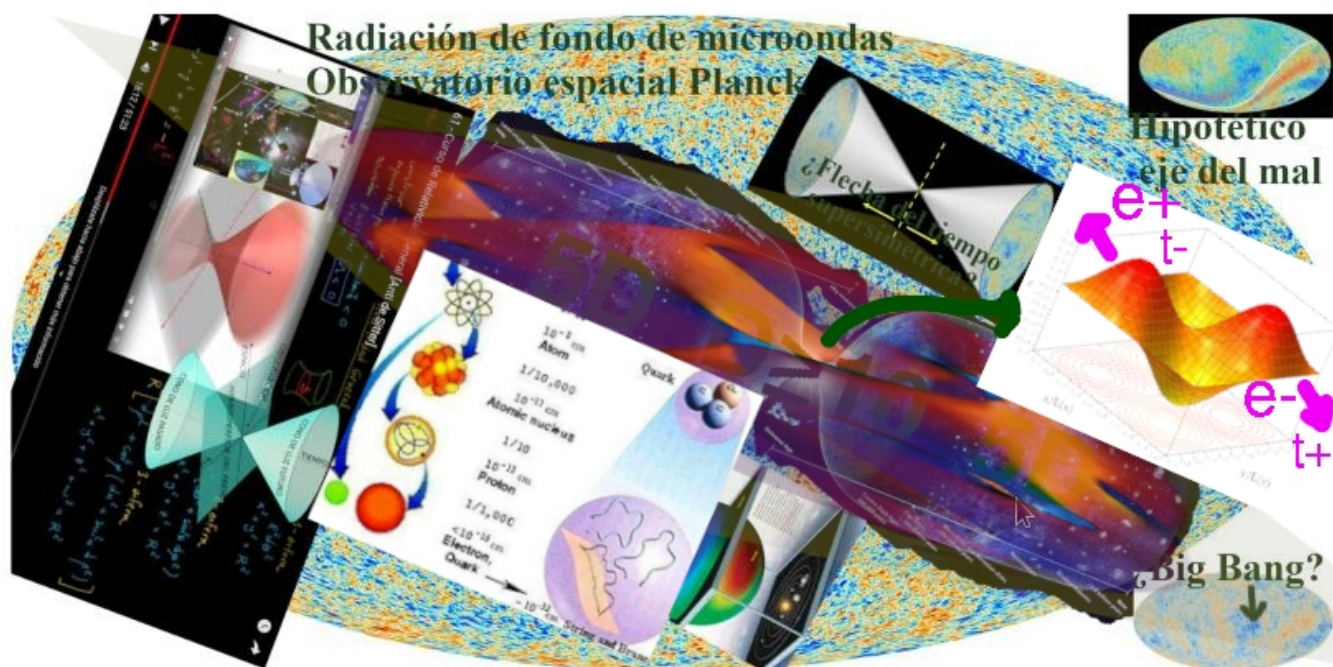
III. II. 1. Correspondencia AdS-CFT en Sh2-279.



III. II. 2. Isotropía de la radiación de fondo de microondas e hipotético eje del mal como evidencia de flecha del tiempo supersimétrica y universo $AdS_n \geq 5$.



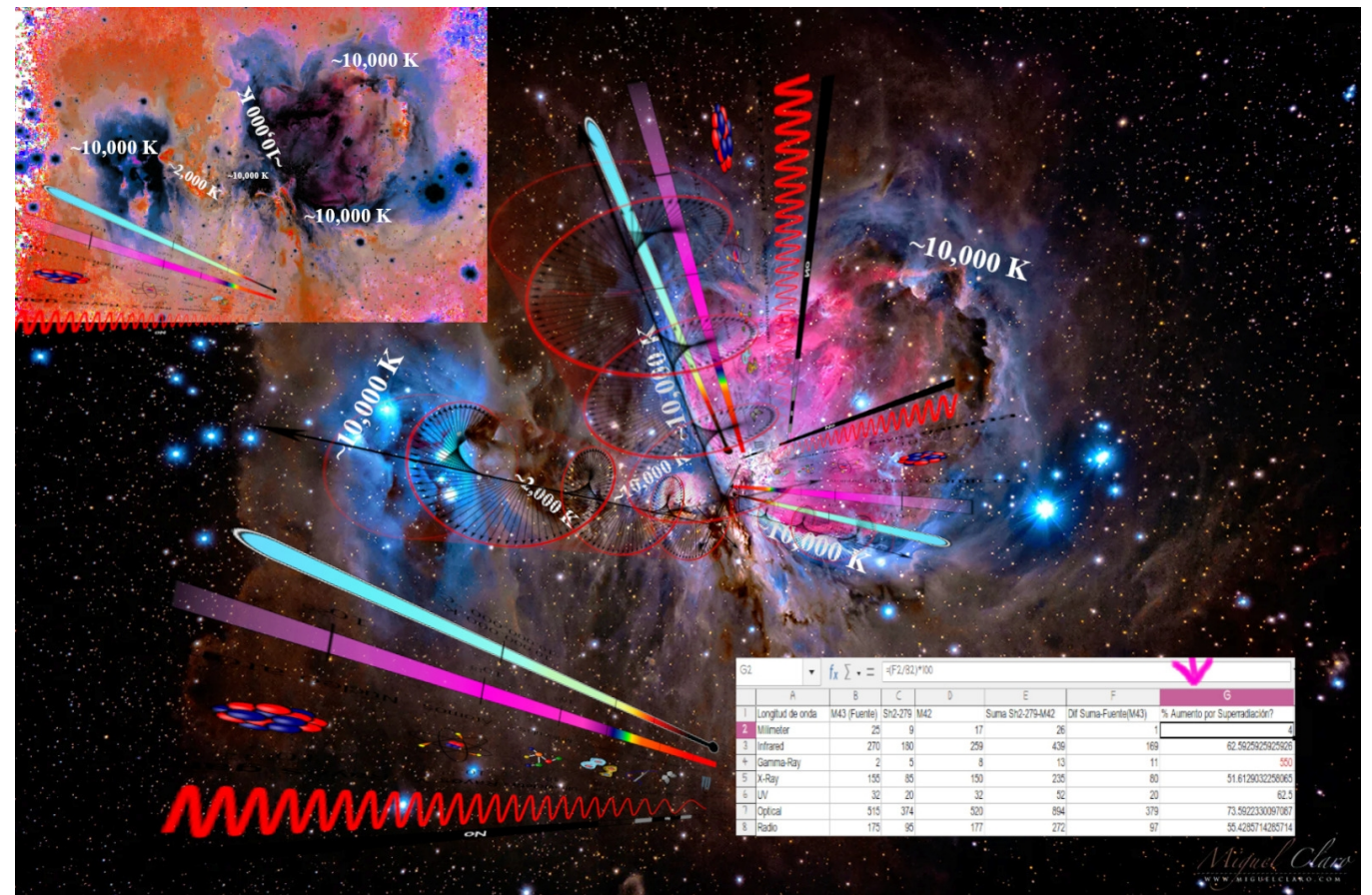
III. II. 3. Función de onda monoelectrónica con hipotética flecha de tiempo supersimétrica.



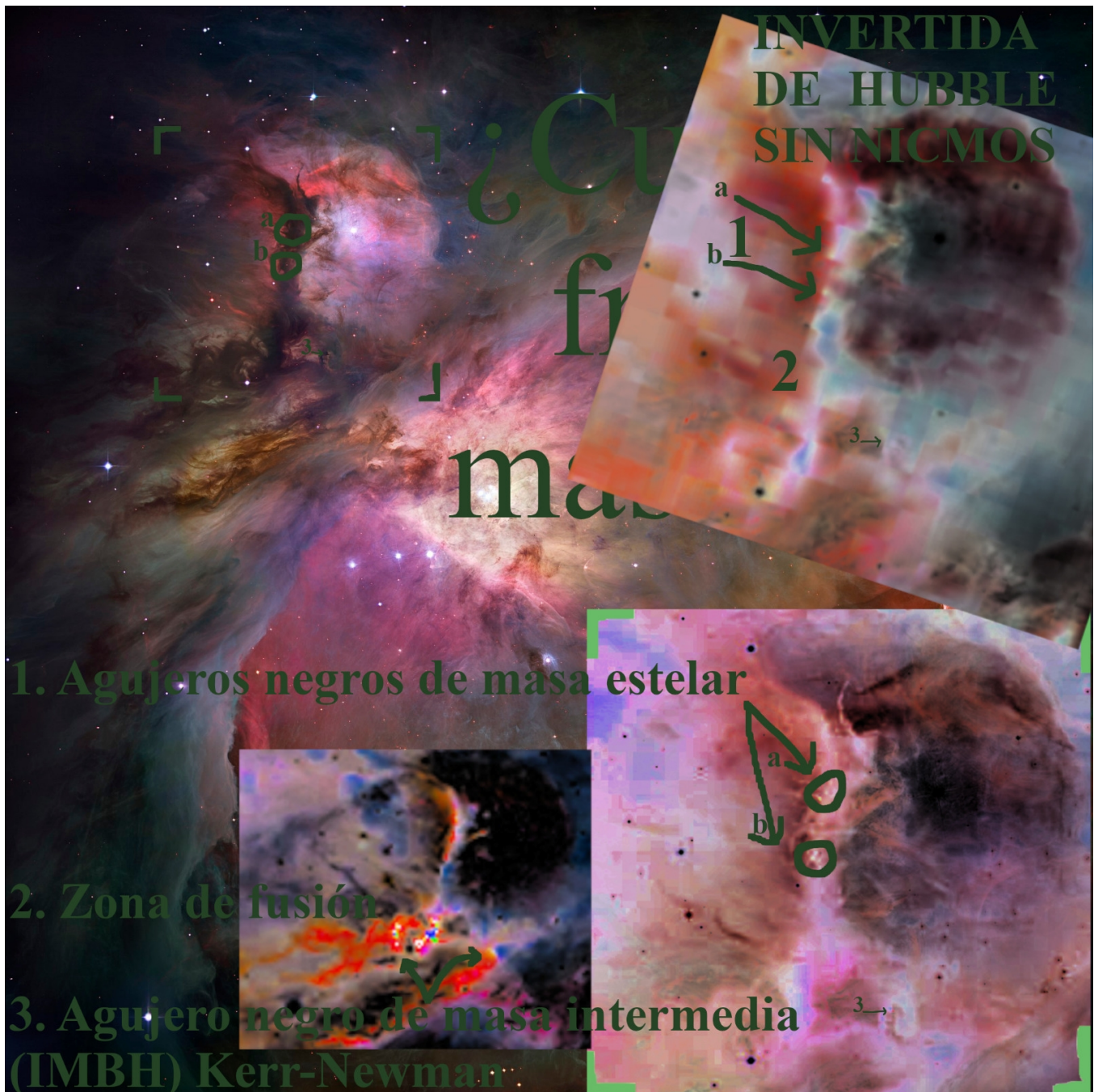
IV. Subconjetura del tercer jet.



IV. 1. Temperaturas y longitudes de onda en subconjuntura del tercer jet.



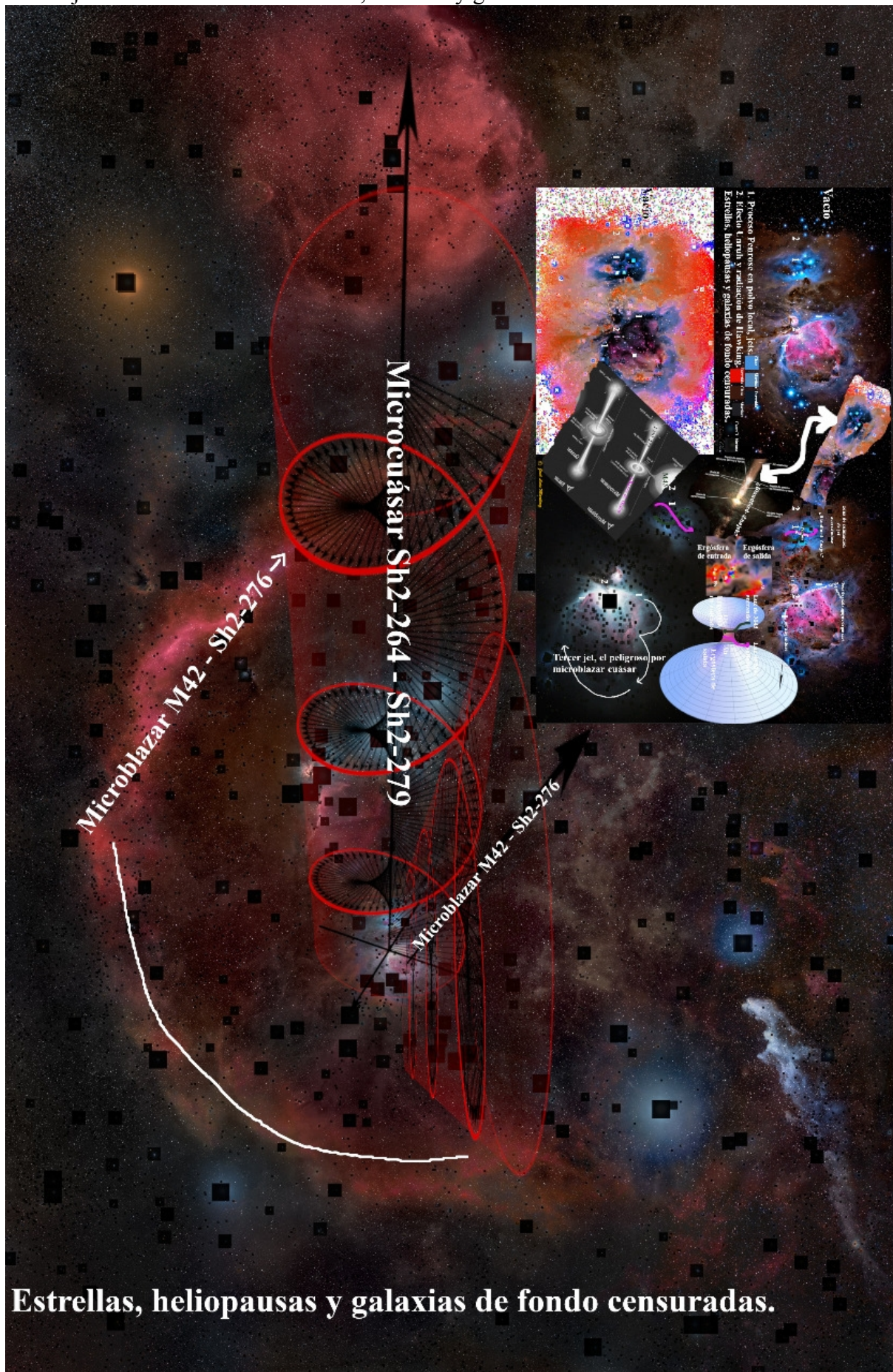
IV. 2. Subconjuntura de estelares a intermedio.



IV. 3. M43, M42 y Sh2-279 , estrellas y galaxias censuradas.

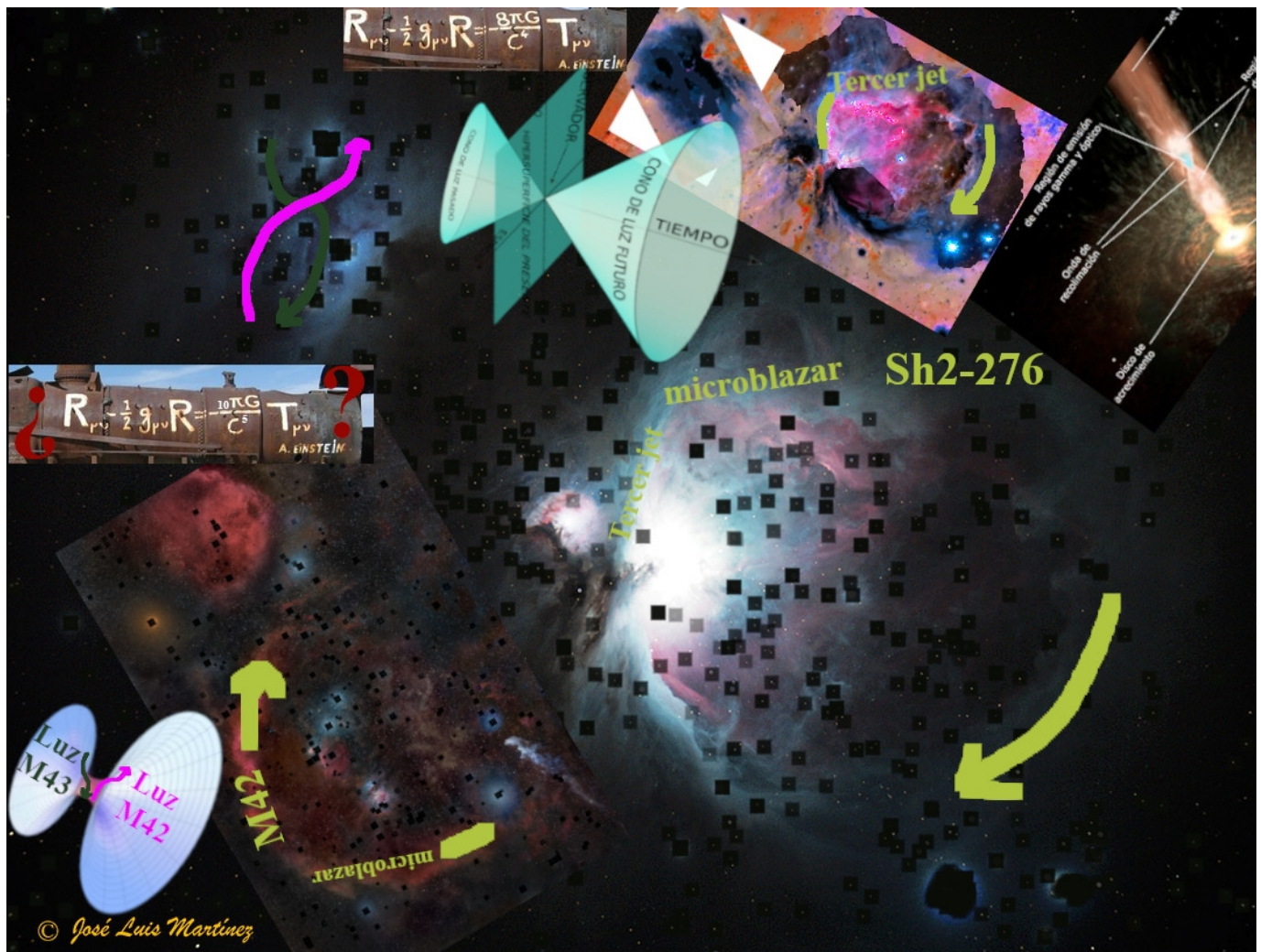


IV. 4. Tercer jet como microblazar Sh2-276, estrellas y galaxias censuradas.

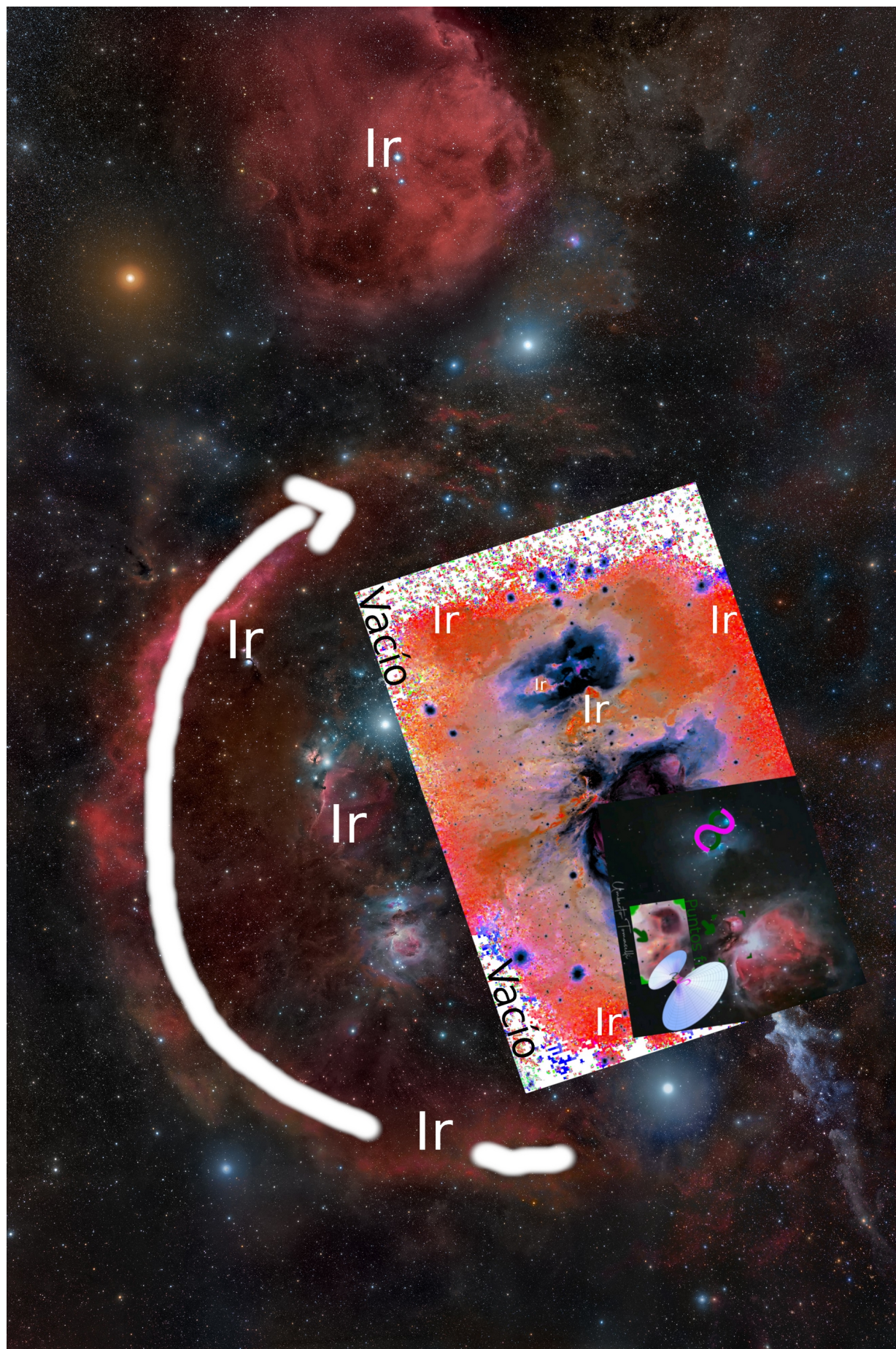


Estrellas, heliopausas y galaxias de fondo censuradas.

IV. 5. Especulación 5D. Estrellas locales y galaxias de fondo censuradas.



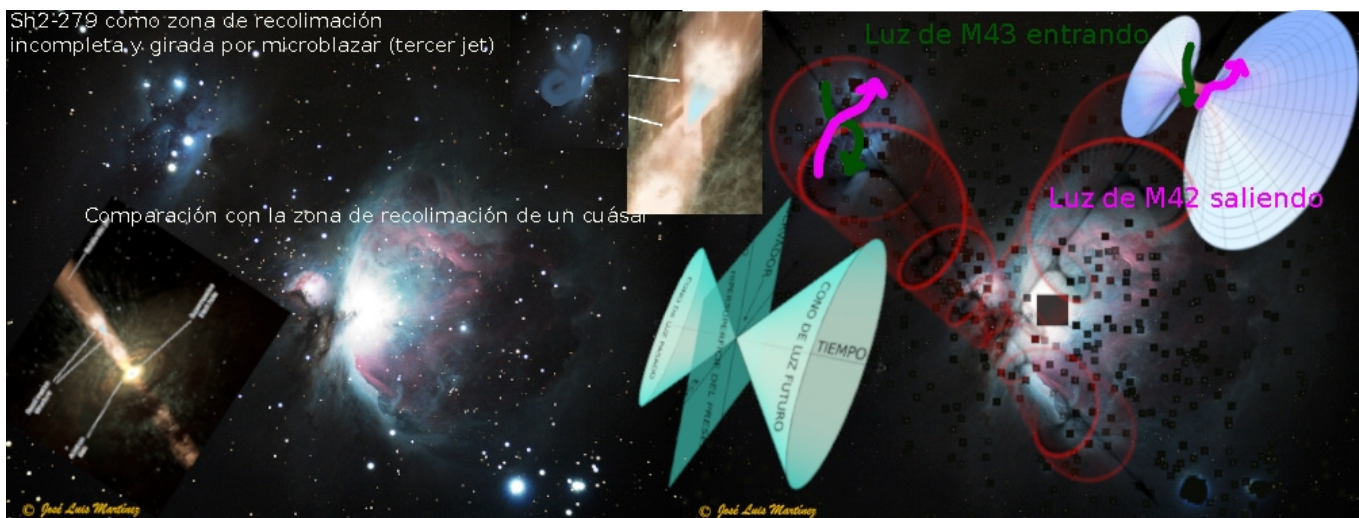
IV. 6. Continuidad en el infrarojo entre M42 y Sh2-276.



IV. 7. ¿Tiene el universo curvatura constante? Curvatura constante reduciéndose y expandiéndose en tercer jet.

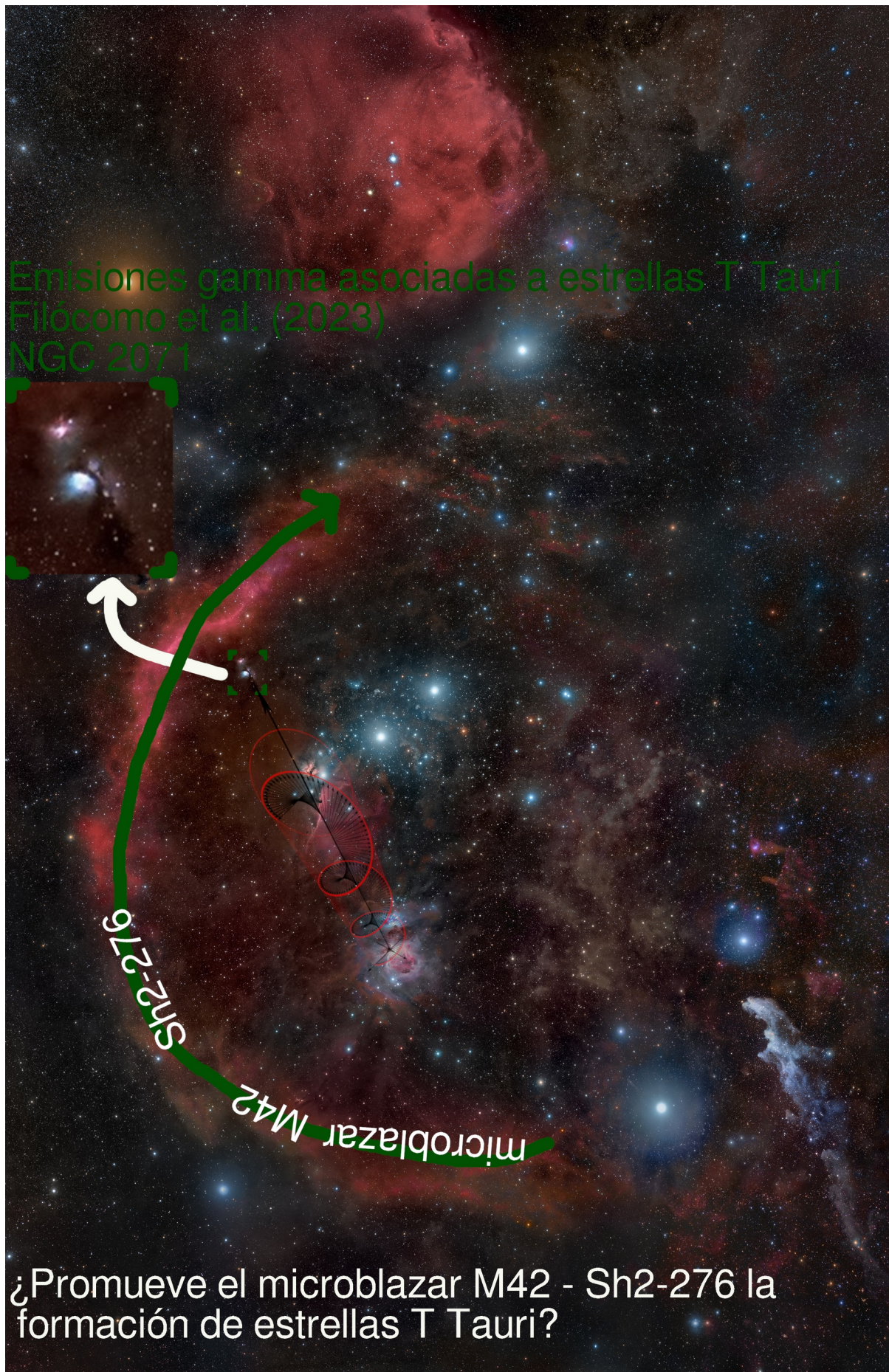


Comparación Sh2-279 con zona de recolimación de cuásar y luz no estelar de M42 como tercer jet.



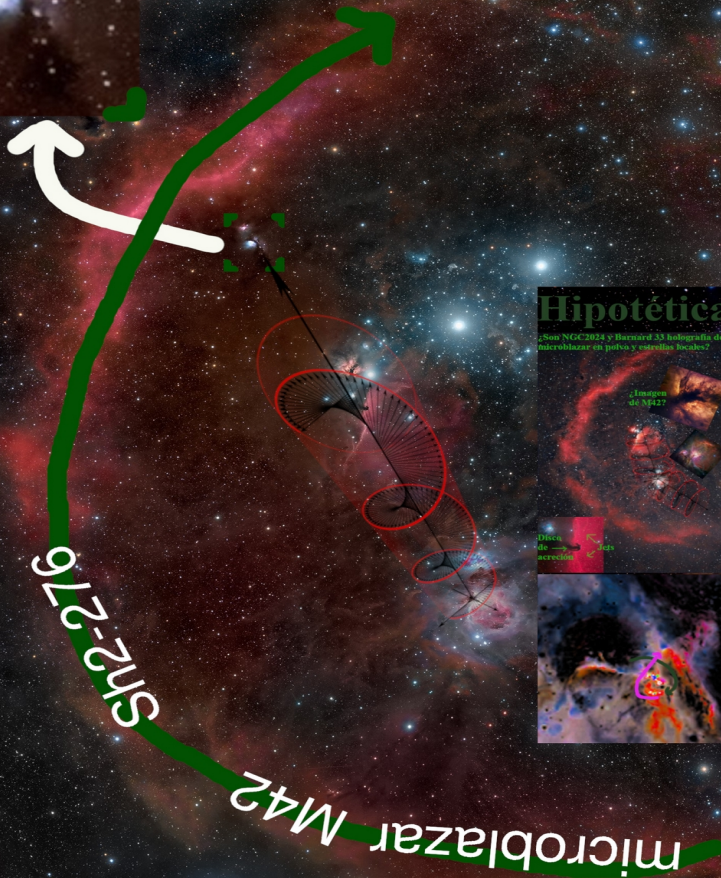
IV.8. $v \geq c$?

IV.9. ¿Promueve el microblazar M42 - Sh2-276 la formación de estrellas T Tauri?



IV.10. Gamma en NGC 2071, hipotético proceso Penrose, ganancia de masa y ruptura de simetría.

Emisiones gamma asociadas a estrellas T Tauri
Filócomo et al. (2023)
NGC 2071



¿Promueve el microblazar M42 - Sh2-276 la formación de estrellas T Tauri?

IV.11. ¿Son NGC 2024 y Barnard 33 holografía de microblazar en polvo y estrellas locales? Hipotético vector M42-NGC 2071.

Emisiones gamma asociadas a estrellas T Tauri
Filócomo et al. (2023)
NGC 2071

